

ČESKÉ VYSOKÉ UČENÍ TECHNICKÉ V PRAZE
FAKULTA STAVEBNÍ

KATEDRA SPECIÁLNÍ GEODÉZIE



**ZAMĚŘENÍ FASÁDY STAVEBNÍHO OBJEKTU A OKOLNÍHO TERÉNU PRO
ARCHITEKTONICKO-STAVEBNÍ STUDIÍ**

**FACADE SURVEY OF THE BUILDING AND THE SURROUNDING TERRAIN
FOR ARCHITECTURAL-CONSTRUCTION STUDIES**

Bakalářská práce

Studijní program: Geodézie a kartografie

Studijní obor: Geodézie, kartografie a geoinformatika

Vedoucí práce: Dr. Ing. Zdeněk Skořepa

Daniela Valešová



ČESKÉ VYSOKÉ UČENÍ TECHNICKÉ V PRAZE

Fakulta stavební
Thákurova 7, 166 29 Praha 6

ZADÁNÍ BAKALÁŘSKÉ PRÁCE

I. OSOBNÍ A STUDIJNÍ ÚDAJE

Příjmení: VALEŠOVÁ Jméno: Daniela Osobní číslo: 424005

Zadávající katedra: 11154 (speciální geodézie)

Studijní program: GEODÉZIE A KARTOGRAFIE

Studijní obor: Geodézie, kartografie a geoinformatika

II. ÚDAJE K BAKALÁŘSKÉ PRÁCI

Název bakalářské práce: Zaměření fasády stavebního objektu a okolního terénu pro architektonicko-stavební studii

Název bakalářské práce anglicky: Facade Survey of the Building and the surrounding Terrain for Architectural-Construction Studies

Pokyny pro vypracování:

1. Na základě rekognoskace terénu v zájmové lokalitě vhodně zvolit a dočasně stabilizovat pomocné měřické body, určení těchto bodů technologií GNSS (RTK)
2. Podrobné měření polohopisu a nadmořských výšek terénu pomocí totální stanice
3. Výpočet souřadnic a výšek podrobných bodů v systému Groma
4. Zaměření fasády stavebního objektu (okna, římsy a hřebeny) pomocí prostorové polární metody. Na vybraných podrobných bodech vypočítat přesnost souřadnic (souřadnicový systém místní, výšky Bpv)
4. Vyhodovení účelové mapy pomocí systému KOKEŠ (vztažné měřítko 1 : 500), výkres fasády stavebního objektu v systému MicroStation (1 : 50)

Seznam doporučené literatury:

/1/ Skořepa, Z.: Geodézie 4. Praha, Česká technika – nakladatelství ČVUT

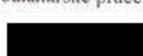
/2/ Návod pro obnovu kat. operátoru a převod. ČÚZK

/3/ Úplné znění předpisu, edice ÚZ, č. 1114, 2016

Jméno vedoucího bakalářské práce: Dr. Ing. Zdeněk Skořepa

Datum zadání bakalářské práce: 22.2.2016 Termín odevzdání bakalářské práce: 20.5.2016

 Podpis vedoucího práce

 Podpis vedoucího katedry

III. PŘEVZETÍ ZADÁNÍ

Beru na vědomí, že jsem povinen vypracovat bakalářskou práci samostatně, bez cizí pomoci, s výjimkou poskytnutých konzultací. Seznam použité literatury, jiných pramenů a jmen konzultantů je nutné uvést v bakalářské práci a při citování postupovat v souladu s metodickou příručkou ČVUT „Jak psát vysokoškolské závěrečné práce“ a metodickým pokynem ČVUT „O dodržování etických principů při přípravě vysokoškolských závěrečných prací“.

A 3. 2016

Datum převzetí zadání

 Podpis studenta(ky)

Čestné prohlášení

Prohlašuji, že jsem bakalářskou práci na téma *Zaměření fasády stavebního objektu a okolního terénu pro architektonicko-stavební studii* zpracovala samostatně za použití odborné literatury a s přispěním konzultací u vedoucího bakalářské práce Dr. Ing. Zdeňka Skořepy.

V Praze dne:

.....
Daniela Valešová

Poděkování

Ráda bych poděkovala vedoucímu bakalářské práce Dr. Ing. Zdeňku Skořepovi za užitečné rady a pomoc při zpracování bakalářské práce. Dále děkuji společnosti Aritmet s.r.o. a jejím zaměstnancům za data poskytnutá pro tuto bakalářskou práci a za cenné rady při měření a následné tvorbě této práce. Také děkuji své rodině a přátelům za nemalou podporu.

**ZAMĚŘENÍ FASÁDY STAVEBNÍHO OBJEKTU A OKOLNÍHO TERÉNU PRO
ARCHITEKTONICKO-STAVEBNÍ STUDIÍ**

FACADE SURVEY OF THE BUILDING AND THE SURROUNDING TERRAIN
FOR ARCHITECTURAL-CONSTRUCTION STUDIES

Abstrakt

Tato bakalářská práce se zabývá souborem zeměměřických činností při zaměření polohopisu a výškopisu skutečného stavu v areálu s potenciální stavební parcelou a pracemi při zaměření bodů fasády stavebního objektu. Výsledkem práce je účelová mapa areálu a vykreslení fasády. Součástí práce je výpočet souřadnic a výšek podrobných bodů a výpočet přesnosti vybraných podrobných bodů fasády.

Klíčová slova

Polohopis, fasáda, střední elipsa chyb, účelová mapa, Groma

Abstract

This thesis deals with a group of surveying activities in planimetric and altimetry of the actual situation in the area with a potential building site and survey works at the points of the building facade. The result is a thematic map of the area and drawing of the facade. Part of this work is calculating coordinates and heights of points and calculation accuracy of the selected facade points.

Key words

Planimetric, Facade, Mean Square Error Ellipse, Thematic Map, Groma

Obsah

1.	Úvod.....	8
2.	Seznam použitých zkratek	9
3.	Lokalita měření	10
4.	Použité přístroje a pomůcky	11
4.1	GNSS přijímač	11
4.2	Totální stanice	11
4.3	Odrazný hranol.....	12
4.4	Ostatní pomůcky	13
5.	Měřické práce	14
5.1	Vybudování sítě dočasně stabilizovaných pomocných měřických bodů	14
5.2	Měření podrobných bodů polohopisu	16
5.3	Měření bodů fasády stavebního objektu	18
6.	Výpočty.....	20
6.1	Výpočet měřítkového koeficientu a zpracování zápisníku měření	20
6.2	Výpočet souřadnic podrobných bodů polohopisu.....	21
6.3	Výpočet souřadnic bodů fasády stavebního objektu.....	21
7.	Přesnost určení souřadnic	25
7.1	Výpočet střední chyby souřadnicové (v rovině)	25
7.1.1	Výsledky	26
7.1.2	Střední elipsa chyb.....	26
7.2	Výpočet střední chyby prostorové	28
7.2.1	Výsledky	29
8.	Grafické zpracování	30
8.1	Výkres polohopisu	30
8.2	Výkres fasády stavebního objektu	31
9.	Závěr	32
10.	Seznam použitých zdrojů	33
11.	Seznam obrázků	34
12.	Seznam tabulek	35
13.	Seznam příloh	36

1. Úvod

Tématem této bakalářské práce je polohopisné a výškopisné zaměření stávajícího stavu v areálu, ve kterém se nachází potenciální stavební parcela a dále zaměření oken, říms a hřebenů fasády přilehlé budovy.

Cílem bakalářské práce je využití těchto naměřených dat pro výpočet souřadnic podrobných bodů polohopisu a souřadnic bodů fasády a jejich následné použití při tvorbě výkresů. Pro vykreslení fasády stavebního objektu jsou body, měřené v místní souřadnicové soustavě, sklopeny ze svislé roviny do roviny vodorovné, aby je bylo možné načíst do kreslícího programu. Na několika bodech fasády je pak počítána přesnost bodů měřených totální stanicí prostorovou polární metodou.

Za účelem tohoto měření byla v areálu vybudována síť pomocných měřických bodů metodou GNSS. Tyto body pak sloužily jako stanoviska pro měření bodů polohopisu. Měření probíhalo v rámci zakázky zpracovávané společností Aritmet s.r.o. ve dnech 16.-21.9.2015.

2. Seznam použitých zkratek

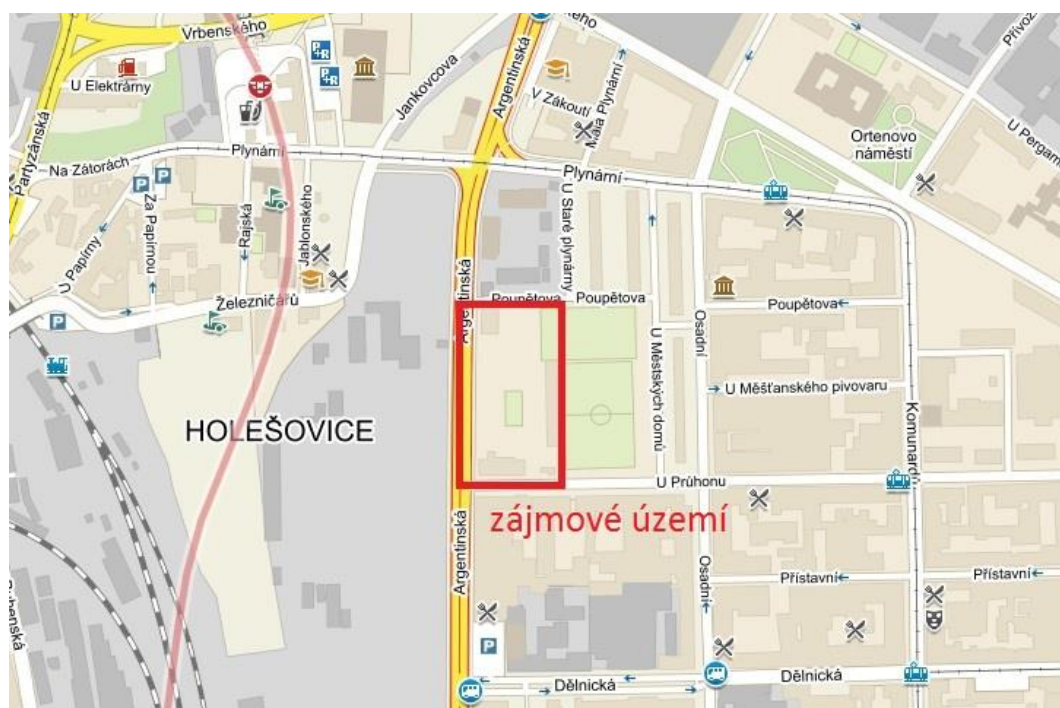
Bpv	Výškový systém Baltský po vyrovnání
CZEPOS	Česká síť permanentních stanic
DR	Direct Reflex – bezhranolové měření vzdálenosti
GLONASS	Globalnaja navigacionnaja sputnikovaja systéma
GNSS	Global Navigation Satellite System
GPS	Global Positioning Systém
NAVSTAR	Navigation System with Time And Rangign
RTK	Real Time Kinematic
S-JTSK	Systém jednotné trigonometrické sítě katastrální

3. Lokalita měření

Měřické práce probíhaly v Praze Holešovicích v areálu fotbalového klubu Loko Vltavín na rohu ulic Argentinská a U Průhonu a v jeho nejbližším okolí. Celkem se jedná o území o rozloze zhruba 0,6 hektarů v katastrálním území Holešovice (obr. 1, 2, 3).

V areálu se nachází restaurace, sportovní zázemí fotbalového klubu (šatny, tribuna) a nevyužívané hřiště.

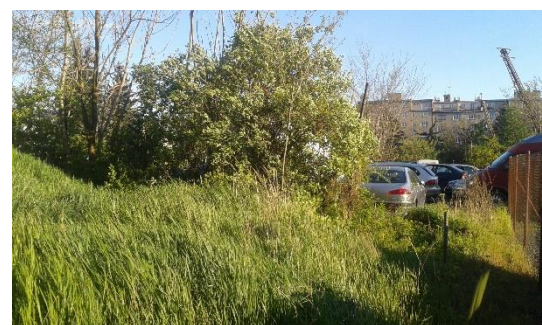
Část areálu, včetně již nevyužívaného hřiště, je v zanedbaném stavu a je s ní uvažováno jako s potenciální stavební parcelou. Některé části jsou kvůli hustému křovinatému porostu prakticky nepřístupné.



Obr. 1: Poloha areálu, zdroj [2]



Obr. 2: Areál



Obr. 3: Areál

4. Použité přístroje a pomůcky

K vybudování sítě pomocných měřických bodů i k samotnému měření bodů polohopisu a fasády byly použity přístroje značky Trimble.

4.1 GNSS přijímač

K vybudování sítě pomocných měřických bodů byl použit GNSS přijímač Trimble R8 (obr. 4). Tento přístroj lze používat jako samostatný nebo ho propojit s totálními stanicemi Trimble řady S (při měření byly využity obě možnosti). Technické parametry viz tab. 1.

Tab. 1: Technické parametry Trimble R8, zdroj [8]

Polohová přesnost – RTK měření	
poloha	8 mm + 0,5 ppm
výška	15 mm + 0,5 ppm
doba trvání inicializace	< 10 sekund
spolehlivost inicializace	> 99,9 %
typ	dvojfrekvenční



Obr. 4: GNSS přijímač Trimble R8, zdroj [3]

4.2 Totální stanice

K měření podrobných bodů byla použita totální stanice Trimble řady S, konkrétně model S7 (obr. 5). Tento model disponuje robotickým ovládáním, schopností automatického cílení na pasivní nebo aktivní hranol a spoustou dalších funkcí

usnadňujících samotné měření – například pomocí funkce Trimble VISON lze cílit pomocí živého videa zobrazeného na kontrolní jednotce. Přesnost přístroje je uvedena v tabulce tab.2.

Tab. 2: Technické parametry Trimble S7, zdroj [7]

Měření směrů	
Úhlová přesnost	0,6 mgon
Měření délek - hranol	
Přesnost	1 mm + 2 ppm
Přesnost – funkce tracking	4 mm + 2 ppm
Dosah	2 500 m
Nejkratší měřitelná vzdálenost	0,2 m
Měření délek – DR mode	
Přesnost	2 mm + 2 ppm
Přesnost – funkce tracking	4 mm + 2 ppm
Dosah	1 300 m
Nejkratší měřitelná vzdálenost	1 m



Obr. 5: Totální stanice Trimble S7, zdroj [4]

4.3 Odrazný hranol

Odrazný hranol byl použit Trimble Active Track 360 Active Target (obr. 6). Tento hranol má zabudovaný 360° LED prstenec pro funkci Tracking a odraznou fólii pro měření vzdáleností. LED prstenec vysílá jeden z osmi ID kanálů, které se dají volit na kontroleru. Pomocí ID kanálů lze minimalizovat potenciální chyby v cílení na jiné reflexní povrchy. [1]



Obr. 6: Odrazný hranot Trimble Active Track 360, zdroj [5]

4.4 Ostatní pomůcky

Trimble TSC3 kontroler (obr. 7) – je bezdrátovým kontrolerem pro snadné ovládání při robotickém měření totální stanicí. Má zabudovaný modem pro GNSS přijímač.



Obr. 7: Kontroler Trimble TSC3, zdroj [6]

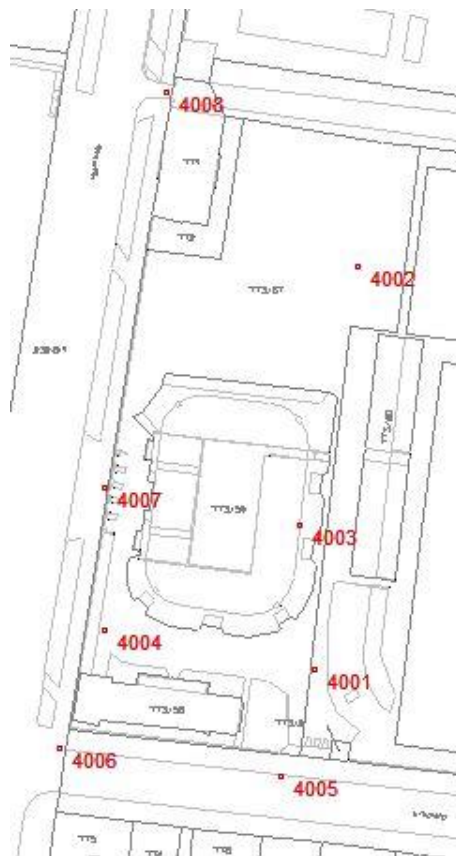
Stativ – totální stanice byla připevněna ke stativu s rychlosvorkami

Výtyčka – byla použita teleskopická výtyčka značky Seco

5. Měřické práce

5.1 Vybudování sítě dočasně stabilizovaných pomocných měřických bodů

Na základě rekognoskace terénu v areálu a jeho nejbližším okolí byla navržena síť osmi pomocných měřických bodů, které byly dočasně stabilizovány měřickým hřebem a označeny značkovacím sprejem (obr. 8). Další pomocné měřické body byly podle potřeby doplněny rajónem pomocí totální stanice v průběhu vlastního měření podrobných bodů.



Obr. 8: Síť bodů (GNSS)

Souřadnice takto stabilizovaných bodů byly získány pomocí technologie GNSS. Na bodech bylo přijímačem GNSS provedeno opakované RTK měření v síti CZEPOS. Výsledná poloha bodů tedy byla získána aritmetickým průměrem z dvojího nezávislého opakovaného měření na bodech (tab. 3 a 4).

Bod 4004 byl zaměřen při prvním měření. Při měření podrobných bodů už ale nemohl být použit kvůli parkujícímu autu. Z tohoto důvodu byl v jeho blízkosti dočasně stabilizován náhradní bod číslo 4012 (tentot bod byl určen rajónem).

Tab. 3: Souřadnice stanovisek - 1. a 2. měření

	1. měření (16.9.2015; 11:00 hod)			2. měření (12.11.2015; 8:30 hod)		
	Y [m]	X [m]	Z [m]	Y [m]	X [m]	Z [m]
4001	740892,99	1041270,14	191,40	740893,00	1041270,15	191,38
4002	740880,50	1041155,20	191,58	740880,56	1041155,20	191,56
4003	740897,19	1041229,37	192,76	740897,20	1041229,41	192,76
4005	740902,57	1041300,99	190,39	740902,54	1041300,95	190,42
4006	740965,86	1041292,99	190,67	740965,83	1041292,98	190,70
4007	740953,11	1041218,58	190,89	740953,13	1041218,58	190,90
4008	740935,36	1041105,58	190,81	740935,37	1041105,57	190,70

Tab. 4: Souřadnice stanovisek - průměr 1. a 2. měření

	aritmetický průměr		
	Y [m]	X [m]	Z [m]
4001	740892,995	1041270,145	191,390
4002	740880,565	1041155,200	191,570
4003	740897,195	1041229,390	192,760
4005	740902,555	1041300,965	190,405
4006	740965,845	1041292,985	190,685
4007	740953,120	1041218,580	190,895
4008	740935,365	1041105,575	190,755

Vzhledem k bodu 9.5 přílohy k vyhlášce č. 31/1995 Sb. nesmí být opakování měření provedeno v čase, který se vůči času ověřovaného měření nachází v intervalu:

$$\langle -1 + n \cdot k; n \cdot k + 1 \rangle \quad (5.1)$$

kde:

k je počet dní a může nabývat pouze hodnot nezáporných celých čísel

$n = 23,933$ hod. (23 hod. 56 minut) pro americký systém GPS-NAVSTAR

$n = 22,500$ hod. (22 hod. 30 minut) pro ruský systém GLONASS [9].

Druhé nezávislé měření bylo provedeno 12.11.2015. Výpočet „nebezpečného času“ pro tento den:

podle obr. 9 je k 57 dní

Vyberte požadovaný výpočet data

Vypočítat rozdíl mezi dvěma daty

Od 16. 9. 2015 Do 12. 11. 2015

Rozdíl (roky, měsíce, týdny, dny)

1 měsíc; 3 týdny; 6 dnů

Rozdíl (dny)

57 dnů

Vypočítat

Obr. 9: Výpočet k

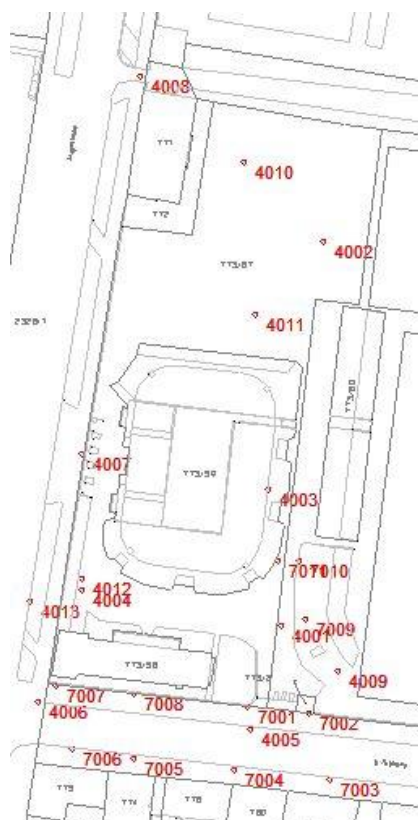
nebezpečný čas = čas 1. observace + vypočtený posun ($\pm 1,0$ hod.)

Podle výpočtu vyšel nebezpečný čas pro systém GPS-NAVSTAR v 7 hod. 12 minut ($\pm 1,0$ hod.). Pro čtvrtok 12.11.2015 to tedy byl interval 6 hod. 12 minut až 8 hod. 12 minut. Pro systém GLONASS vyšel nebezpečný čas o čtyři dny dříve, než proběhlo druhé měření, tedy 8.11.2015 v intervalu 20 hod. 30 minut až 22 hod. 30 minut.

5.2 Měření podrobných bodů polohopisu

Podrobné body byly měřeny nejprve v ulicích přilehlých areálu, poté uvnitř areálu. Namísto vedení měřického náčrtu byly body, kvůli snazšímu zpracování, kódovány přímo při jejich zaměřování. Při měření byly využívány funkce Tracking a Autolock totální stanice Trimble S7. Funkce Tracking umožňuje kontinuální měření na hranol, což podstatně urychluje samotné měření. Funkce Autolock umožňuje detekci pasivního i aktivního cíle.

Podle potřeby byla síť stanovisek doplnována dalšími pomocnými body stabilizovanými měřickými hřebeny. Pro potřebu při měření bodů fasády stavebního objektu, byly rajónem zaměřeny další pomocné body. Tyto body byly vyznačeny značkovacím fixem na výrazných prvcích okolí (lámpa, závora, dopravní značka). Poloha stanovisek je vidět na obr. 10



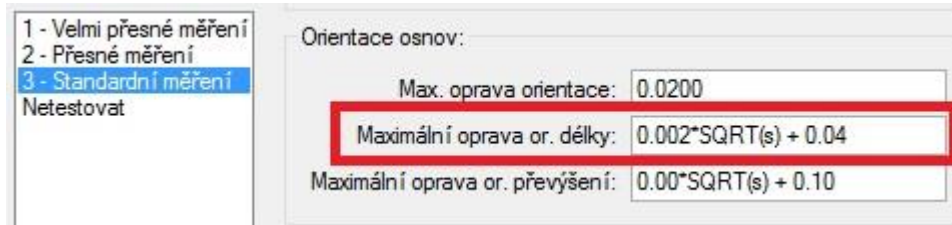
Obr. 10: Stanoviska a ostatní pomocné měřické body

Vzhledem k viditelnosti, značně omezené křovinatým porostem uvnitř téměř celého areálu, byla na každém stanovisku měřena pouze jedna orientace. Tato orientace byla kontrolována délkou vypočtenou ze souřadnic (tab. 5).

Tab. 5: Kontrola délky orientace

stanovisko/ orientace	měřená délka [m]	vzdálenost vypočtená ze souřadnic [m]	rozdíl [m]	mezní odchylka délky orientace [m]
4005/4001	32,305	32,267	-0,038	0,051
4006/4007	75,488	75,480	-0,008	0,057
4008/4007	114,377	114,391	0,014	0,061
4001/4002	115,594	115,615	0,021	0,062
4009/4001	21,591	21,591	0,000	0,049
4003/4001	40,981	40,971	-0,010	0,053
4002/4001	115,595	115,615	0,020	0,062
4010/4002	33,368	33,368	0,000	0,052
4011/4002	29,765	29,765	0,000	0,051
4012/4001	61,459	61,459	0,000	0,056
4006/4005	63,799	63,792	-0,007	0,056
4013/4006	30,524	30,524	0,000	0,051

Jak je vidět v tab. 5, žádný rozdíl nepřekročil hodnotu mezní odchylky délky orientace. Hodnota této odchylky byla vypočtena pro každou orientaci zvlášť podle vzorce pro standardní měření uvedeného v nastavení tolerancí výpočtu v programu Groma (obr. 11):



Obr. 11: Vzorec pro maximální opravu délky orientace, Groma

Podle návodu pro obnovu katastrálního operátu a převod [13] je mezní odchylka pro délku v měřické síti

$$m = 0,001 \cdot \sqrt{s} + 0,05 \quad (5.2)$$

kde

m je mezní odchylka délky orientace

s je měřená délka.

Maximální rozdíl mezi délkou měřenou a vypočtenou ze souřadnic je -0,038 m na stanovisku 4005 s orientací na bod 4001. Ani tento největší rozdíl však nepřekročil hodnotu maximální opravy délky orientace.

5.3 Měření bodů fasády stavebního objektu

Body fasády byly měřeny v místním souřadnicovém systému. Systém byl zvolen tak, aby stanovisko mělo souřadnice Y = 1000 m a X = 5000 m a kladná poloosa x ležela ve spojnici stanoviska a známý bod 7010 (bod byl vyznačený křížkem na sloupu veřejného osvětlení při předchozím měření podrobných bodů).

Na fasádě stavebního objektu byly měřeny body průniku zdi s terénem, dlaždicové obklady, dřevěný podhled, hřeben střechy a výrazné prvky jako okapy, dveře a okna. Pro usnadnění měření byl každý typ okna detailně zaměřen pouze jednou. Další okna pak byla měřena jen dvěma protilehlými body, které jsou dostačující pro jejich konstrukci při kresbě.

Dalším prvkem fasády byla ocelová konstrukce schodiště vedoucí ke dveřím v druhém patře objektu. Toto schodiště bylo zaměřeno pouze body na spodu konstrukce a jedním bodem na vrcholu. Výsledná kresba schodiště pak byla vytvořena v kreslícím programu podle fotografie konstrukce sloužící jako podklad (obr. 12).



Obr. 12: Konstrukce schodiště

Pro potřeby výpočtu souřadnic fasády byly na objektu zvoleny dva body – F128 a F129. Tyto body pak byly brány jako body přímky při přepočtu do vodorovné roviny (obr. 13).



Obr. 13: Přímka pro přepočet bodů

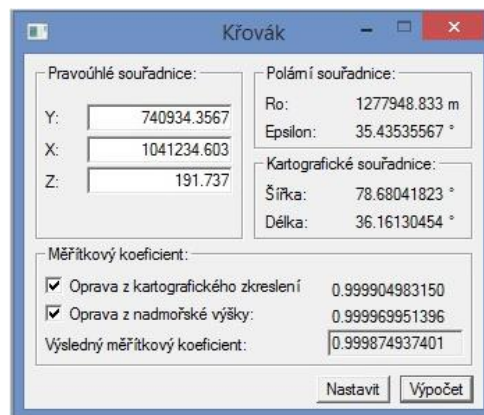
Pro účely této práce byla použita data naměřená pouze na jedné polovině objektu. Celá fasáda byla zaměřena ze dvou různých stanovisek.

6. Výpočty

Po dokončení měřických prací byla měřená data uložena do formátu sdr. Dále byly exportovány textové protokoly měření GNSS (příloha 3 a 4)a měření podrobných bodů. Veškeré výpočty byly provedeny v programovém systému Groma v. 11.1.

6.1 Výpočet měřítkového koeficientu a zpracování zápisníku měření

Před samotným výpočtem souřadnic byly ze souřadnic stanovisek 4003, 4007 a 4012 vypočítány souřadnice středu areálu. Měřítkový koeficient q byl určený ze souřadnic tohoto bodu pomocí funkce Křovák v programu Groma (obr. 14).



Obr. 14: Výpočet měřítkového koeficientu

Měřítkový koeficient $q = 0,999874937401$ má po přepočtu podle 6.1:

$$(q - 1) \cdot 10^6 \text{ ppm} \quad (6.1)$$

hodnotu -125 ppm.

Po zadání tohoto koeficientu v programu Groma byl zpracován zápisník měření (obr. 15). Měřené délky byly vynásobeny tímto koeficientem, čímž došlo k matematické redukci a redukci do zobrazovací roviny S-JTSK. Fyzikální redukce nemusela být počítána, měřené délky byly o hodnotu fyzikální redukce opraveny přístrojem už při měření. Zápisník měření – příloha 1.

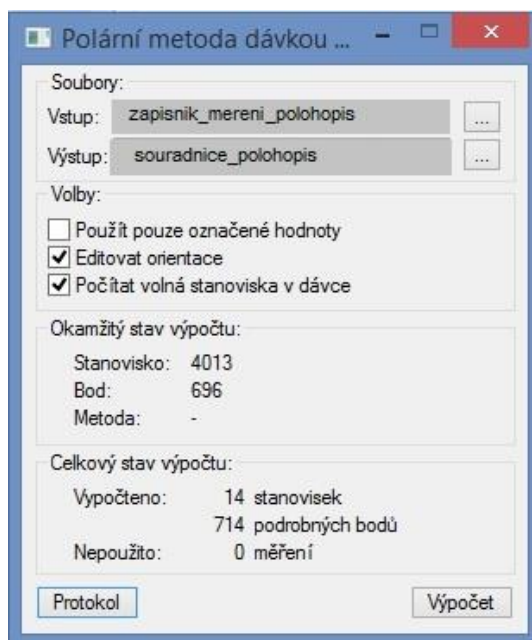
"963_mapovani_zapisnik.mes": Měření						
Předč.	Číslo	Hz	Z	Vod.délka	dH	Signál
	4005				0.00	
	4001	0.0000	98.1131	32.30	0.96	0.00
	1	292.8942	99.8086	29.02	0.09	0.00 zed s
	2	305.0234	100.2958	28.27	-0.13	0.00 chd s
	3	305.7766	100.4178	28.29	-0.19	0.00 slip s
	4	285.4581	99.8035	19.57	0.06	0.00 zed bud s
	5	277.7232	99.5696	14.74	0.10	0.00 bud
	6	264.8541	99.8230	15.28	0.04	0.00 bud s
	7	261.5182	99.9757	14.34	0.01	0.00 bud
	8	257.8067	99.8966	13.49	0.02	0.00 bud s
	9	253.5407	99.7761	12.65	0.04	0.00 bud
	10	248.8953	99.6333	11.93	0.07	0.00 bud s
	11	243.1846	99.5011	11.19	0.09	0.00 bud
	12	242.6677	99.3919	11.29	0.11	0.00 vst s
	13	235.6723	99.8447	10.67	0.03	0.00 vst
	14	215.3336	99.0528	9.66	0.14	0.00 vst zed s

Obr. 15: Ukázka zpracovaného zápisníku

6.2 Výpočet souřadnic podrobných bodů polohopisu

Pro výpočet souřadnic podrobných bodů polohopisu bylo nutné nejprve v programu Groma vytvořit seznam souřadnic stanovisek. Výsledné zprůměrované souřadnice z prvního a druhého měření GNSS byly z textového formátu převedeny do systému Groma.

Pro výpočet byla využita funkce *Polární metoda dávkou* (Obr. 16). Souborem vstupujícím do výpočtu byl zpracovaný zápisník měření (ve kterém byla označena stanoviska a orientace) a jako výstup byl zvolen soubor seznamu souřadnic s již vloženými souřadnicemi stanovisek. Díky této funkci nemusely být souřadnice každého stanoviska určovaného rajónem počítány jednotlivě před výpočtem souřadnic bodů polohopisu – souřadnice byly vypočteny v průběhu výpočtu. Pro výpočet polární metody dávkou byl uložen protokol o výpočtu (příloha 5).

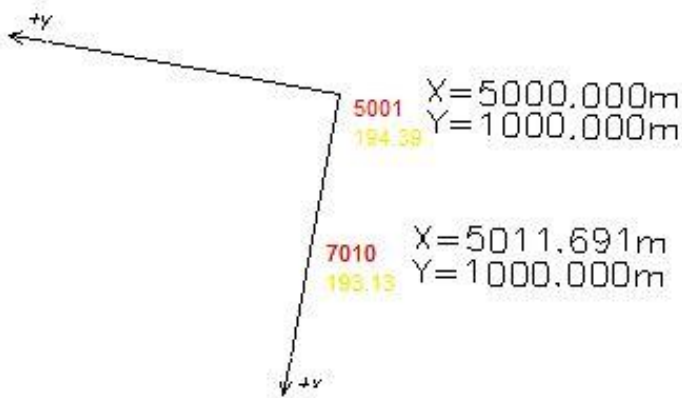


Obr. 16: Výpočet souřadnic bodů polohopisu polární metodou dávkou

Výsledný seznam souřadnic v S-JTSK a výšek v Bpv (souřadnice podrobných bodů, souřadnice stanovisek) byl uložen v textovém formátu pro další zpracování v programu Kokeš (formát stx).

6.3 Výpočet souřadnic bodů fasády stavebního objektu

Stejně jako v předešlém případě byl nejprve zpracován zápisník měření (příloha 2). Jak už bylo zmíněno, souřadnice stanoviska byly zvoleny a kladná poloosa x směřovala do spojnice stanoviska a známého bodu 7010 (souřadnice Y tedy zůstala stejná jako u stanoviska a souřadnice X se zvýšila o délku spojnice – obr. 17).



Obr. 17: Místní souřadnicový systém při měření bodů fasády

Pomocí těchto bodů pak byl vypočten počáteční (F129) a koncový (F128) bod, tyto body určují přímku na fasádě stavebního objektu (přímka, je znázorněna na obr. 13).

Výšky bodů byly počítány z výšky známého bodu 7010. Nejprve byla vypočtena výška středu přístroje:

$$H_P = H_{7010} - h_{P,7010} \quad (6.2)$$

kde

H_P je výška středu přístroje

H_{7010} je výška známého bodu 7010

$h_{P,7010}$ je převýšení mezi přístrojem a bodem 7010

Výsledná výška bodu pak byla vypočtena podle:

$$H_{bod} = H_P + h_{P,bod} \quad (6.3)$$

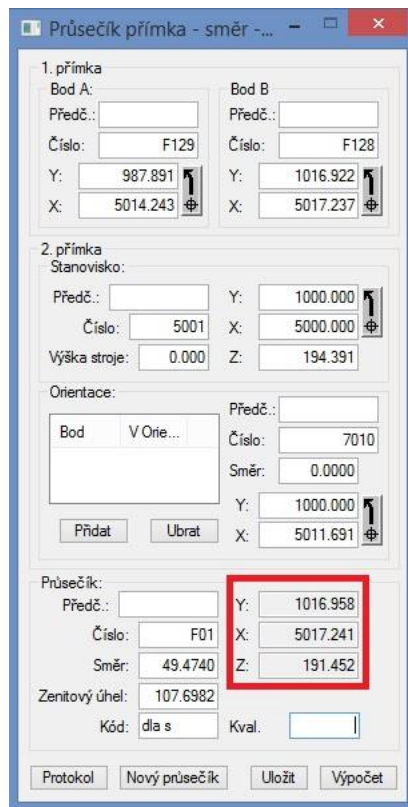
kde

H_P je výška středu přístroje

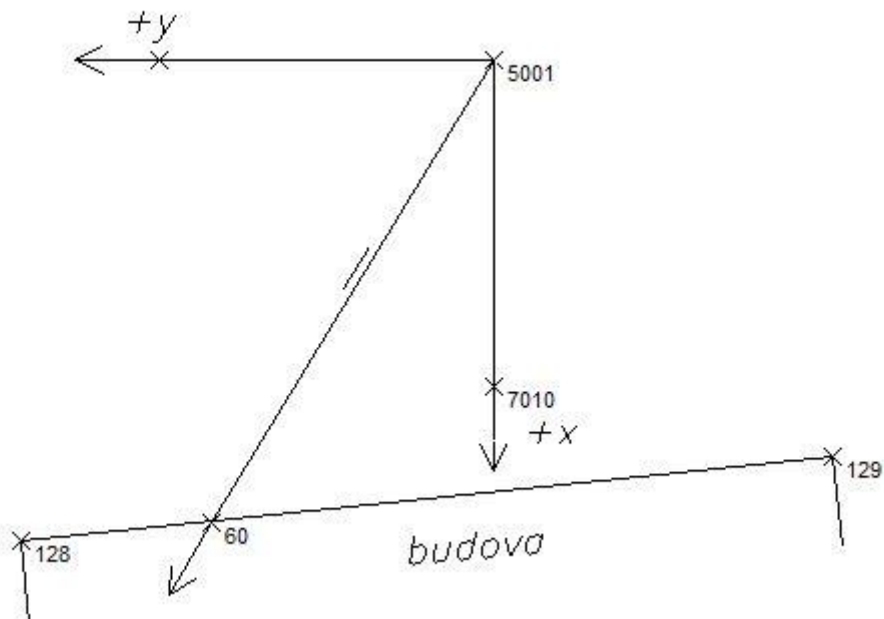
H_{bod} je výška určovaného bodu

$h_{P,bod}$ je převýšení mezi středem přístroje a určovaným bodem

Pro získání výsledných souřadnic bodů fasády v místním souřadnicovém systému byl nejprve vypočten průsečík přímky s měřeným směrem na každý jednotlivý bod (výpočet - obr. 18, náčrt situace – obr. 19).

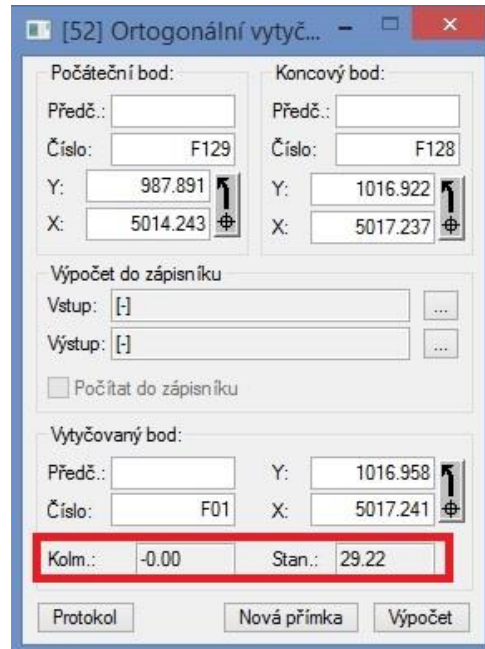


Obr. 18: Výpočet souřadnic bodů fasády



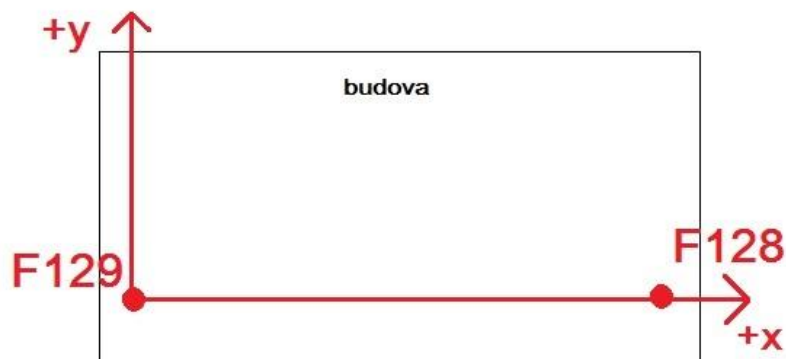
Obr. 19: Průsečík měřeného směru a přímky

Souřadnice vypočteného průsečíku pak byly použity pro výpočet staničení od počátečního bodu přímky (obr. 20). Tento výpočet proběhl, na rozdíl od výpočtu souřadnic průsečíků, hromadně pro všechny body najednou.



Obr. 20: Výpočet staničení

Výsledné souřadnice bodů fasády pak byly v nově zvoleném místním souřadnicovém systému. Ten byl volen tak, aby kladná poloosa x ležela ve spojnici počátečního a koncového bodu přímky a počátek odpovídal bodu F129 (obr. 21).



Obr. 21: Výsledný souřadnicový systém

Vzhledem k tomu, že některé průsečíky měly zápornou hodnotu staničení, byla jako souřadnice X počátku zvolena hodnota odpovídající původní hodnotě souřadnice Y bodu F129. Takto se dosáhlo toho, že všechny body měly kladnou souřadnici X . Jako souřadnice Y bodů byla použita původní souřadnice Z (osa y nového místního souřadnicového systému odpovídala ose z původního souřadnicového systému).

Celý přepočet souřadnic bodů byl proveden, aby bylo možné načíst body v kreslícím programu a vykreslit tak pohled na fasádu.

7. Přesnost určení souřadnic

Přesnost bodu určeného rajónem se vyjadřuje střední chybou souřadnicovou σ_{xy} , ta se vypočte z kovarianční matici souřadnic. Součástí informace o přesnosti jsou také střední chyby souřadnic σ_x , σ_y a střední elipsa chyb.

7.1 Výpočet střední chyby souřadnicové (v rovině)

V případě polární metody je na stanovisku měřen vodorovný směr a zenitový úhel na určovaný bod a vzdálenosti mezi stanoviskem a určovaným bodem. Bezchybné hodnoty měření jsou tedy dány vektorem typu 3×1 $\bar{\mathbf{L}} = (\bar{s}_{AP}, \bar{\psi}_{AP}, \bar{z}_{AP})^T$.

Nelineární matematický model měření souřadnic cílového bodu je:

$$\begin{aligned} F_1: s_{AP} * \sin z_{AP} * \cos \psi_{AP} - x &= 0 \\ F_2: s_{AP} * \sin z_{AP} * \cos \psi_{AP} - y &= 0 \end{aligned} \quad \mathbf{F}(\mathbf{L}, \mathbf{X}) = \mathbf{0} \quad (7.1)$$

(rovnice nezahrnují vliv zakřivení Země a refrakce)

kde

\mathbf{L} je vektor bezchybných hodnot měření

$\mathbf{X} = (x, y, h)^T$ je vektor bezchybných hodnot lokálních souřadnic cílového bodu typu 3×1 .

Matici \mathbf{D} typu 2×3 je maticí parciálních derivací vektorové funkce (7.1) podle měřených prvků

$$\mathbf{D} = \begin{bmatrix} \sin z_{AP} \cdot \cos \psi_{AP} & -s_{AP} \cdot \sin z_{AP} \cdot \sin \psi_{AP} & s_{AP} \cdot \cos z_{AP} \cdot \cos \psi_{AP} \\ \sin z_{AP} \cdot \sin \psi_{AP} & s_{AP} \cdot \sin z_{AP} \cdot \cos \psi_{AP} & s_{AP} \cdot \cos z_{AP} \cdot \sin \psi_{AP} \end{bmatrix} \quad (7.2)$$

Dále platí

$$\mathbf{D} \cdot \Sigma_L + \mathbf{A} \cdot \Sigma_X = 0 \quad (7.3)$$

(matice derivací podle souřadnic \mathbf{A} 2×2 je $\mathbf{A} = -\mathbf{E}$ jednotková matici).

Pak

$$\Sigma_X = \mathbf{D} \cdot \Sigma_L \quad (7.4)$$

Vzhledem k tomu, že souřadnice stanoviska byly voleny, je vliv podkladu považován za bezchybný a při výpočtu se uvažoval pouze vliv měření v podobě diagonální kovarianční matici měření $\Sigma_L = diag(\sigma_s^2, \sigma_{\psi_{AP}}^2, \sigma_{z_{AP}}^2)$

kde

σ_ψ je úhlová přesnost směru nebo zenitového úhlu (pro výpočet zvolena 3 mgon)

σ_s je délková přesnost (pro výpočet zvolena 5 mm).

Výsledná kovarianční matice se pak vypočte:

$$\Sigma_x = \mathbf{D} \cdot \Sigma_L \cdot \mathbf{D}^T \quad (7.5)$$

Pro kovarianční matici tedy platí

$$\Sigma_x = \begin{pmatrix} \sigma_x^2 & \text{cov}(x, y) \\ \text{cov}(y, x) & \sigma_y^2 \end{pmatrix} \quad (7.6)$$

Výsledná střední chyba souřadnicová je

$$\sigma_{xy} = \sqrt{0,5 \cdot \text{tr}\Sigma_x} = \sqrt{0,5 \cdot (\sigma_x^2 + \sigma_y^2)} \quad (7.7)$$

kde tr (trace) je stopa matice Σ_x .

7.1.1 Výsledky

Přesnost bodu fasády stavebního objektu byla určována pro tři body – bod průniku objektu s terénem (F01), roh okna (F133) a bod na střeše (F18). Výsledná hodnota střední chyby souřadnicové, střední chyby souřadnice x a y a celá kovarianční matice jsou pro každý bod uvedeny v tab. 6.

Tab. 6: Přesnost určení souřadnic

Bod	Kovariánční matice Σ_x [m]	σ_{xy} [mm]	σ_x [mm]	σ_y [mm]
F01	$10^{-4} \cdot \begin{pmatrix} 0,1317 & 0,1168 \\ 0,1168 & 0,1278 \end{pmatrix}$	3,60	3,63	3,58
F18	$10^{-4} \cdot \begin{pmatrix} 0,1614 & -0,1087 \\ -0,1087 & 0,0894 \end{pmatrix}$	3,54	4,02	3,00
F133	$10^{-4} \cdot \begin{pmatrix} 0,2282 & 0,0658 \\ 0,0658 & 0,0259 \end{pmatrix}$	3,56	4,78	1,61

Jak lze vidět v tab. 6 střední chyba souřadnicová pro souřadnice bodů měřených polární metodou vychází přibližně 3,5 mm.

7.1.2 Střední elipsa chyb

Střední elipsa chyb je geometrickou interpretací přesnosti geodetického určení polohy bodu v rovině. Je to místo polohových chyb se stejnou hustotou pravděpodobnosti.

Hlavní (a) a vedlejší (b) poloosy střední elipsy chyb se vypočítají podle vzorců

$$a = \sqrt{\frac{\sigma_x^2 + \sigma_y^2 + c}{2}} = \sqrt{\sigma_{xy}^2 + \frac{c}{2}} \quad (7.8)$$

$$b = \sqrt{\frac{\sigma_x^2 + \sigma_y^2 - c}{2}} = \sqrt{\sigma_{xy}^2 - \frac{c}{2}} \quad (7.9)$$

kde

$$c = \sqrt{(\sigma_x^2 - \sigma_y^2)^2 + 4 \cdot cov^2(x, y)} \quad (7.10)$$

Směrník α hlavní poloosy elipsy chyb se vypočítá ze vzorce

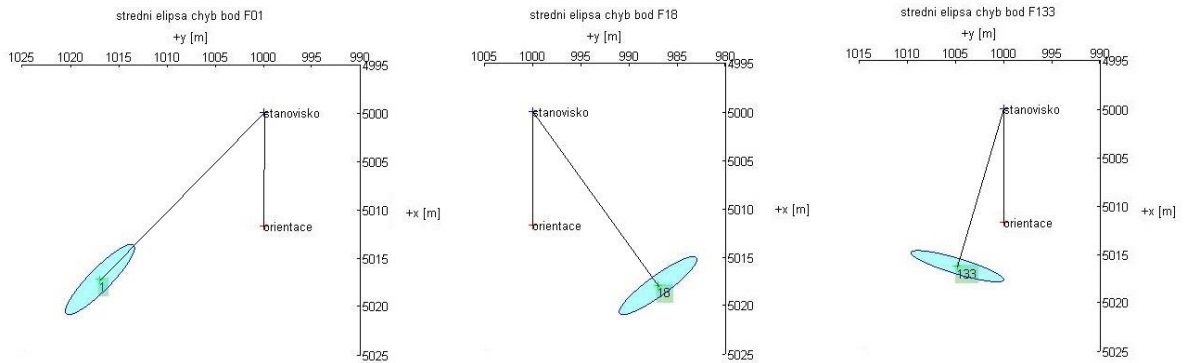
$$\tan 2\alpha = \frac{2 \cdot cov(x, y)}{\sigma_x^2 - \sigma_y^2} \quad (7.11)$$

Střední elipsa chyb má střed v bodě, jehož přesnost je určována (tedy bod F01, F18 a F133).

Parametry elipsy chyb (a, b, α) pro určované body jsou uvedeny v tab. 7 a elipsy jsou vykresleny na obr. 22.

Tab. 7: Parametry střední elipsy chyb

Bod	a [mm]	b [mm]	α [gon]
F01	4,965	1,139	49,4740
F18	4,898	1,044	160,1819
F133	4,977	0,799	18,3526



Obr. 22: Střední elipsy chyb

Celý výpočet přesnosti souřadnic včetně výpočtu parametrů střední elipsy chyb a jejího vykreslení byl proveden v programu Matlab (příloha 6). Elipsa byla vykreslena pomocí funkce *ellipse* (autorem funkce je Ing. Tomáš Kubín, Phd.; příloha 8), do této funkce vstupují jako parametry souřadnice středu elipsy, hlavní a vedlejší poloosa elipsy a směrník hlavní poloosy. Pro lepší názornost vykreslení elipsy chyb byla hlavní a vedlejší poloosa tisíckrát zvětšena.

7.2 Výpočet střední chyby prostorové

V případě prostorové polární metody se přesnost určeného bodu vyjadřuje střední chybou prostorovou σ_{3D} .

Stejně jako v případě střední elipsy chyb v rovině jsou bezchybné hodnoty měření dány vektorem typu 3x1 $\bar{\mathbf{L}} = (\bar{s}_{AP}, \bar{\psi}_{AP}, \bar{z}_{AP})^T$.

Nelineární matematický model měření souřadnic cílového bodu je:

$$\left. \begin{array}{l} F_1: s_{AP} * \sin z_{AP} * \cos \psi_{AP} - x = 0 \\ F_2: s_{AP} * \sin z_{AP} * \cos \psi_{AP} - y = 0 \\ F_3: s_{AP} * \cos z_{AP} - h = 0 \end{array} \right\} \mathbf{F}(\mathbf{L}, \mathbf{X}) = \mathbf{0} \quad (7.12)$$

(rovnice nezahrnují vliv zakřivení Země a refrakce)

kde

\mathbf{L} je vektor bezchybných hodnot měření

$\mathbf{X} = (x, y, h)^T$ je vektor bezchybných hodnot lokálních souřadnic cílového bodu typu 3x1.

Stejně jako v případě výpočtů v rovině je matice \mathbf{D} typu 3x3 maticí parciálních derivací vektorové funkce (7.12) podle měřených prvků.

$$\mathbf{D} = \begin{bmatrix} \sin z_{AP} * \cos \psi_{AP} & -s_{AP} * \sin z_{AP} * \sin \psi_{AP} & s_{AP} * \cos z_{AP} * \cos \psi_{AP} \\ \sin z_{AP} * \sin \psi_{AP} & s_{AP} * \sin z_{AP} * \cos \psi_{AP} & s_{AP} * \cos z_{AP} * \sin \psi_{AP} \\ \cos z_{AP} & 0 & -s_{AP} * \sin z_{AP} \end{bmatrix} \quad (7.13)$$

Dále platí

$$\mathbf{D} \cdot \Sigma_L + \mathbf{A} \cdot \Sigma_X = 0 \quad (7.14)$$

(matice derivací podle souřadnic \mathbf{A} 3x3 je $\mathbf{A} = -\mathbf{E}$ jednotková matice).

Další výpočet je totožný jako v případě výpočtu v rovině, tedy

$$\Sigma_X = \mathbf{D} \cdot \Sigma_L \quad (7.15)$$

diagonální kovarianční matice měření: $\Sigma_L \text{diag}(\sigma_{s_{AP}}^2, \sigma_{\psi_{AP}}^2, \sigma_{z_{AP}}^2)$.

Výsledná kovarianční matice má tvar

$$\Sigma_X = \begin{pmatrix} \sigma_x^2 & \text{cov}(x, y) & \text{cov}(x, h) \\ \text{cov}(y, x) & \sigma_y^2 & \text{cov}(y, h) \\ \text{cov}(h, x) & \text{cov}(h, y) & \sigma_h^2 \end{pmatrix} \quad (7.16)$$

Střední chyba prostorová se pak vypočte podle vzorce

$$\sigma_{3D} = \sqrt{\sigma_x^2 + \sigma_y^2 + \sigma_h^2} \quad (7.17)$$

7.2.1 Výsledky

Střední chyba prostorová byla počítána pro shodné tři body fasády stavebního objektu jako střední chyba souřadnicová – výsledky výpočtu jsou uvedeny v tab. 8, výpočetní skript – příloha 7.

Tab. 8: Přesnost určení souřadnic

Bod	Kovarinční matici Σ_x [m]	σ_{3D} [mm]	σ_x [mm]	σ_y [mm]	σ_h [mm]
F01	$10^{-4} \cdot \begin{pmatrix} 0,1317 & 0,1168 & -0,0202 \\ 0,1168 & 0,1278 & -0,0199 \\ -0,0202 & -0,0199 & 0,0166 \end{pmatrix}$	5,255	3,629	3,575	1,289
F18	$10^{-4} \cdot \begin{pmatrix} 0,1614 & -0,1087 & 0,0390 \\ -0,1087 & 0,0894 & -0,0282 \\ 0,0390 & -0,0282 & 0,0215 \end{pmatrix}$	5,218	4,017	2,990	1,467
F133	$10^{-4} \cdot \begin{pmatrix} 0,2282 & 0,0658 & 0,0224 \\ 0,0658 & 0,0259 & 0,0066 \\ 0,0224 & 0,0066 & 0,0087 \end{pmatrix}$	5,127	4,777	1,609	0,933

V této kapitole bylo čerpáno z [10], [11].

8. Grafické zpracování

Výkres polohopisu areálu byl zpracován v programu Kokeš, výkres fasády stavebního objektu v programu Microstation V8.

8.1 Výkres polohopisu

Výkres polohopisu tvoří účelová mapa v měřítku 1 : 500 (příloha 9). Některé prvky tohoto výkresu byly určeny dle Přílohy k vyhlášce č.233/2010 Sb. o prvcích základního obsahu technické mapy [12]. Tyto prvky například jsou

- polohopis
 - hranice (drátěný plot, atd.)
 - stavební objekty (vstup do budovy, budova zděná, atd.)
 - zařízení dopravní infrastruktury (zábradlí, dopravní značka, atd.)
 - technická infrastruktura na zemském povrchu (šoupě, vpusť, atd.)
 - zeleň (význačné a samostatně stojící stromy)
- výškopis
 - terénní hrany

Pro vyhotovení výkresu v programu Kokeš byla použita technologie výkresu WKOKES. Díky této předdefinované technologii byly kreslené prvky ukládány do správných vrstev. Pro účely výkresu byly podle potřeby definovány další vrstvy (např. pro terénní hranu, chodník, obrubník, ...). Pro takto vytvořené vrstvy musel být zvolen kreslící klíč. Přehled některých vrstev – viz tab. 9.

Tab. 9: Přehled vrstev

Vrstva	Popis vrstvy
BODY	body polohopisu, definovaná
DOPS	dopravní síť a zařízení, svět. sign. zařízení samostatné, WKOKES
KANS	kanalizace vpusť, WKOKES
LEGENDA	legenda výkresu, dodefinovaná
POLBUD	stavební objekty budova zděná, bet., kov., WKOKES
POLPLO	ploty a zdi drátěný, kovový vlast. z jedné str., WKOKES
VODS	vodovody šoupátko, WKOKES
hriste	nepoužívané hřiště, definovaná
ter_hrana	terénní hrana, defikovaná

Výkres byl tvořen na základě kódů jednotlivých měřených bodů. Příklad některých kódů viz tab. 10.

Tab. 10:Přehled kódů

Kód	Popis kódu
bud	tděná budova
vst	vstup
zna	dopravní značka
sov	vodovodní šoupě
vps	vpusť
pdr	plot drátěný
hhr	horní hrana

8.2 Výkres fasády stavebního objektu

Při kresbě fasády byly jednotlivé prvky kresleny do vrstev, u kterých byla zvolena tloušťka a barva čáry.

Jak už bylo zmíněno v kapitole 5.3, od každého typu okna bylo detailně měřeno jen jedno okno. Toto okno bylo zkonstruováno pomocí naměřených bodů a kresba pak byla zkopirována a umístěna na body uhlopříčky dalšího okna.

Kresba schodiště byla provedena na základě fotografie vložené do programu Microstation. Jednotlivé prvky schodiště byly z fotografie obkreslovány a větší plochy byly vytvořeny jako objekty s výplní.

Výsledný výkres – příloha 10.

9. Závěr

Cílem této bakalářské práce bylo vytvoření účelové mapy skutečného stavu v areálu a vytvoření výkresu fasády stavebního objektu. Tomu předcházelo měření a výpočet souřadnic podrobných bodů polohopisu i fasády. Pro některé body fasády, měřené prostorovou polární metodou, byl proveden výpočet přesnosti určení souřadnic.

Podle výpočtů a výsledků uvedených v kapitole 7 lze říci, že body fasády měřené prostorovou polární metodou byly měřeny s přesností danou střední chybou prostorovou $\sigma_{3D} = 5 \text{ mm}$ a v případě roviny střední chybou polohovou $\sigma_{xy} = 4 \text{ mm}$.

Účelem práce bylo také pochopení jednotlivých kroků výpočtů a grafického zpracování, které jsou běžně využívány v praxi a reálných zakázkách, kde se provádějí prakticky automatizovaně. Tomu napomáhá i možnost výpočtu souřadnic bodů přímo při měření pomocí softwaru totální stanice.

Účelová mapa areálu a výkres fasády jsou součástí příloh této práce. Výkresy a seznamy vypočtených souřadnic vyhotovené společností Aritmet s.r.o. byly předány pro architektonicko-stavební studii.

10. Seznam použitých zdrojů

- [1] Trimble ActiveTrack 360 target. *UPG* [online]. [cit. 2016-04-30]. Dostupné z: <https://www.upgsolutions.com/trimble-activetrack-360-target/>
- [2] Mapy SEZNAM. *SEZNAM* [online]. [cit. 2016-04-30]. Dostupné z: <https://mapy.cz/>
- [3] *Data sheet Trimble R8 GPS System* [online]. In: . [cit. 2016-04-30]. Dostupné z: <http://www.alleninst.com/pdfs/r8.pdf>
- [4] Trimble S7. *Trimble* [online]. [cit. 2016-04-30]. Dostupné z: <http://www.trimble.com/Survey/Total-Station-S7.aspx>
- [5] Nei GPS. [online]. [cit. 2016-04-30]. Dostupné z: <http://www.neigps.com/product/at360/>
- [6] TSC3 Controller. *Trimble* [online]. [cit. 2016-04-30]. Dostupné z: <http://www.trimble.com/Survey/tsc3.aspx>
- [7] Totální stanice Trimble S7: Technický popis. *GEOTRONICS Praha* [online]. [cit. 2016-04-30]. Dostupné z: <http://www.geotronics.cz/geodeticke-pristroje/totalni-stanice/trimble-s7>
- [8] *Trimble R8 GNSS Systém: Datasheet* [online]. [cit. 2016-04-30]. Dostupné z: http://www.geotronics.sk/wp-content/uploads/2014/10/022543-079M-SKY_TrimbleR8GNSS_DS_0413_LR.pdf
- [9] *Předpis č. 31/1995 Sb.* [online]. [cit. 2016-04-30]. Dostupné z: <http://www.zakonyprolidi.cz/cs/1995-31#prilohy>
- [10] SKOŘEPA, Zdeněk a Radek DUŠEK. *MĚŘENÍ A SOUŘADNICE REALIZOVANÉ TPS A JEJICH PŘESNOST*.
- [11] SKOŘEPA, Zdeněk. *Geodézie 4*. Česká technika, 2014. ISBN 987-80-01-05481-9.
- [12] *Úplné znění: Katastr nemovitostí, zeměměřictví, pozemkové úpravy a úřady*. 2016.
- [13] *Návod pro obnovu katastrálního operátu a převod* [online]. [cit. 2016-05-09]. Dostupné z: <http://www.cuzk.cz/Predpisy/Resortni-predpisy-a-opatreni/Navody-CUZK.aspx>

11. Seznam obrázků

Obr. 1: Poloha areálu, zdroj [2]	10
Obr. 2: Areál	10
Obr. 3: Areál	10
Obr. 4: GNSS přijímač Trimble R8, zdroj [3]	11
Obr. 5: Totální stanice Trimble S7, zdroj [4]	12
Obr. 6: Odrazný hranot Trimble Active Track 360, zdroj [5]	13
Obr. 7: Kontroler Trimble TSC3, zdroj [6]	13
Obr. 8: Síť bodů (GNSS)	14
Obr. 9: Výpočet k	16
Obr. 10: Stanoviska a ostatní pomocné měřické body	17
Obr. 11: Vzorec pro maximální opravu délky orientace, Groma	18
Obr. 12: Konstrukce schodiště	19
Obr. 13: Přímka pro přepočet bodů	19
Obr. 14: Výpočet měřítkového koeficientu	20
Obr. 15: Ukázka zpracovaného zápisníku	20
Obr. 16: Výpočet souřadnic bodů polohopisu polární metodou dávkou	21
Obr. 17: Místní souřadnicový systém při měření bodů fasády	22
Obr. 18: Výpočet souřadnic bodů fasády	23
Obr. 19: Průsečík měřeného směru a přímky	23
Obr. 20: Výpočet staničení	24
Obr. 21: Výsledný souřadnicový systém	24
Obr. 22: Střední elipsy chyb	27

12. Seznam tabulek

Tab. 1: Technické parametry Trimble R8, zdroj [8].....	11
Tab. 2: Technické parametry Trimble S7, zdroj [7]	12
Tab. 3: Souřadnice stanovisek - 1. a 2. měření	15
Tab. 4: Souřadnice stanovisek - průměr 1. a 2. měření	15
Tab. 5: Kontrola délky orientace	17
Tab. 6: Přesnost určení souřadnic	26
Tab. 7: Parametry střední elipsy chyb	27
Tab. 8:Přesnost určení souřadnic	29
Tab. 9: Přehled vrstev	30
Tab. 10:Přehled kódů.....	31

13. Seznam příloh

Příloha 1: Zápisník měření – polohopis

Příloha 2: Zápisník měření – fasáda stavebního objektu

Příloha 3: Protokol měření GNSS – 1. měření

Příloha 4: Protokol měření GNSS – 2. měření

Příloha 5: Protokol o výpočtu souřadnic bodů polohopisu polární metody dávkou

Příloha 6: Skript pro výpočet přesnosti souřadnic bodu v rovině

Příloha 7: Skript pro výpočet přesnosti souřadnic bodu v prostoru

Příloha 8: Funkce *ellipse*

Příloha 9: Účelová mapa areálu

Příloha 10: Výkres fasády

Příloha 1: Zápisník měření – polohopis

Číslo bodu	Hz	Z	Vod. délka	Převýšení:	Signál:	Popis
4005					0,000	
4001	0,0000	98,1131	32,30	0,958	0,000	
1	73,7236	99,8086	29,02	0,087	0,000	zed s
2	85,8528	100,2958	28,27	-0,131	0,000	chd s
3	86,6061	100,4178	28,29	-0,186	0,000	silp s
4	66,2876	99,8035	19,57	0,060	0,000	zed bud s
5	58,5526	99,5696	14,74	0,100	0,000	bud
6	45,6835	99,8230	15,28	0,042	0,000	bud s
7	42,3477	99,9757	14,34	0,005	0,000	bud
8	38,6361	99,8966	13,49	0,022	0,000	bud s
9	34,3701	99,7761	12,65	0,044	0,000	bud
10	29,7247	99,6333	11,93	0,069	0,000	bud s
11	24,0140	99,5011	11,19	0,088	0,000	bud
12	23,4971	99,3919	11,29	0,108	0,000	vst s
13	16,5017	99,8447	10,67	0,026	0,000	vst
14	396,1631	99,0528	9,66	0,144	0,000	vst zed s
15	375,9926	97,9882	6,63	0,210	0,000	zed
16	376,1023	98,6009	5,27	0,116	0,000	zna
17	79,3017	100,6695	7,51	-0,079	0,000	chd
18	82,0125	100,9235	7,45	-0,108	0,000	chd silp
19	85,1719	100,6142	10,23	-0,099	0,000	vps
20	113,6037	100,4099	29,36	-0,189	0,000	sill s
21	121,2147	100,4571	21,75	-0,156	0,000	pokc
22	122,5850	99,1754	10,65	0,138	0,000	vps
23	78,0903	99,9743	29,62	0,012	0,000	zabr s
24	74,5531	99,9403	21,92	0,021	0,000	zabr
25	351,2961	98,2090	5,48	0,154	0,000	zabr s
26	366,0763	101,2517	1,11	-0,022	0,000	chd s silp s
27	315,6300	101,8237	1,67	-0,048	0,000	silp s
28	309,5276	98,4579	7,58	0,184	0,000	str
29	211,8119	100,2688	12,33	-0,052	0,000	sill
30	273,6090	99,1328	25,04	0,341	0,000	pokk
31	290,5343	99,7287	26,37	0,112	0,000	chd
32	289,7629	99,8067	26,37	0,080	0,000	chd silp
33	298,6409	99,4877	27,80	0,224	0,000	zabr
34	301,7930	99,3791	30,56	0,298	0,000	zed vst s
35	301,1788	99,4586	31,94	0,272	0,000	zed s vst
36	289,4429	99,7620	33,19	0,124	0,000	chd s silp s
37	290,0408	99,7146	33,19	0,149	0,000	chd
38	289,4377	99,6741	47,24	0,242	0,000	chd
39	289,0352	99,7117	47,27	0,214	0,000	silp
40	296,8246	99,3893	48,01	0,461	0,000	zed
41	294,2384	99,4360	47,70	0,423	0,000	zabr
42	275,2742	99,6812	57,33	0,287	0,000	sill
43	278,8226	99,5176	56,02	0,424	0,000	pokc
44	280,2370	99,5638	60,99	0,418	0,000	pokk
45	279,1603	99,5929	61,13	0,391	0,000	pokk
46	278,2320	99,6264	61,29	0,360	0,000	pokk
47	287,8095	99,6307	54,05	0,314	0,000	sop
48	289,4970	99,6278	60,91	0,356	0,000	zna
49	288,7304	99,7132	61,76	0,278	0,000	silp
50	289,0586	99,6955	61,73	0,295	0,000	chd
51	289,8645	99,6649	64,51	0,340	0,000	chd
52	289,4512	99,7322	64,45	0,271	0,000	silp
53	291,1936	99,7499	67,57	0,265	0,000	silp
54	290,4505	99,6931	65,84	0,317	0,000	chd
55	294,6670	99,5111	66,06	0,507	0,000	chd
56	294,2246	99,5154	64,64	0,492	0,000	sov
57	294,2538	99,5146	64,25	0,490	0,000	hydp
58	294,7606	99,4496	62,19	0,538	0,000	zed
59	292,6888	99,6769	68,78	0,349	0,000	obr s
60	289,9595	99,7292	66,57	0,283	0,000	dla s
61	292,3262	99,6913	69,53	0,337	0,000	dla
62	294,4536	99,6691	71,10	0,370	0,000	dla
63	294,5335	99,7172	70,60	0,314	0,000	silp
64	294,5876	99,6029	70,30	0,438	0,000	chd

259	341,5553	99,7272	14,91	0,064	0,000	sill
260	347,4371	99,8172	14,52	0,042	0,000	sill
261	353,3165	99,5331	16,08	0,118	0,000	sill
262	364,6510	99,5887	16,39	0,106	0,000	sill
263	371,1191	99,8869	15,01	0,027	0,000	sill
264	382,5806	99,9037	16,90	0,026	0,000	sill
265	389,2488	100,0691	19,61	-0,021	0,000	sill
266	392,2040	100,1785	22,06	-0,062	0,000	sill
267	346,6278	99,6397	15,41	0,087	0,000	str
268	371,7561	99,3335	16,13	0,169	0,000	str
269	395,1932	100,0334	30,15	-0,016	0,000	sill
270	391,7100	99,9219	31,61	0,039	0,000	sill
271	396,1549	99,9741	37,56	0,015	0,000	sill s
272	394,9873	99,9712	38,21	0,017	0,000	str
273	392,6862	100,0576	29,43	-0,027	0,000	str
274	9,5504	99,8019	33,97	0,106	0,000	str
275	204,6807	103,0878	19,88	-0,965	0,000	beton s
276	200,6763	102,5949	19,82	-0,808	0,000	beton bud3 s
277	196,6655	102,7862	19,80	-0,867	0,000	bud3
278	192,9619	102,8071	19,94	-0,880	0,000	bud3 s
279	189,0200	102,7758	20,10	-0,877	0,000	bud3
280	185,4590	102,7224	20,36	-0,871	0,000	bud3 s
281	181,6791	102,7662	20,67	-0,899	0,000	bud3
282	178,3831	102,7009	21,04	-0,893	0,000	bud3 s silp s
283	177,7841	100,8130	21,09	-0,269	0,000	obr3 s
284	177,0006	101,0519	20,44	-0,338	0,000	obr3
285	175,9022	100,9876	20,33	-0,315	0,000	obr4 s
286	176,7028	102,6632	19,58	-0,819	0,000	silp
287	168,7935	100,6486	18,62	-0,190	0,000	silp
288	162,5776	100,2408	20,74	-0,078	0,000	silp
289	157,6097	100,4147	25,24	-0,164	0,000	silp
290	154,3674	100,2804	27,91	-0,123	0,000	silp
291	152,7645	100,3142	21,86	-0,108	0,000	silp s
292	157,4640	100,4875	18,09	-0,139	0,000	silp
293	160,3593	100,4715	14,77	-0,109	0,000	silp
294	161,6649	100,5790	11,07	-0,101	0,000	silp
295	156,1450	100,5439	7,87	-0,067	0,000	silp
296	144,4700	100,7500	5,91	-0,070	0,000	silp
297	148,4599	101,0159	5,58	-0,089	0,000	silp
298	89,6583	99,9650	14,76	0,008	0,000	bud4 s
299	91,4082	99,9744	15,11	0,006	0,000	obr s
300	79,8579	100,1050	6,73	-0,011	0,000	obr
301	77,5154	100,0899	7,26	-0,010	0,000	bud4
302	69,2638	100,0385	7,21	-0,004	0,000	obr dla s
303	81,4648	100,4049	6,09	-0,039	0,000	pokk
304	47,5736	100,3392	4,55	-0,024	0,000	dla silp
305	28,2053	100,3590	6,68	-0,038	0,000	silp dla s
306	52,1636	100,0626	8,81	-0,009	0,000	dla obr s
307	138,7652	94,9285	8,55	0,683	0,000	str
308	23,8738	99,8902	17,88	0,031	0,000	obr dla s
309	9,1758	100,1694	16,80	-0,045	0,000	dla silp
310	8,4063	100,1324	18,07	-0,038	0,000	silp dla s
311	19,9067	99,8979	18,81	0,030	0,000	dla
312	19,6910	99,9072	19,10	0,028	0,000	dla
313	23,2233	99,8980	19,50	0,031	0,000	dla
314	24,6612	99,8918	18,38	0,031	0,000	schody s
315	11,7555	100,1139	17,39	-0,031	0,000	schody
316	9,8465	100,0949	20,85	-0,031	0,000	schody
317	20,7329	99,9808	21,72	0,007	0,000	schody
318	19,7542	99,9355	21,62	0,022	0,000	obr s
319	16,9367	99,8912	25,26	0,043	0,000	obr dla s
320	6,2370	100,1528	24,51	-0,059	0,000	dla silp
321	5,9895	100,1416	25,77	-0,057	0,000	silp dla s
322	16,1789	99,9089	26,49	0,038	0,000	dla obr s
323	13,9175	99,8581	30,83	0,069	0,000	obr dla s
324	5,3276	100,0599	30,21	-0,028	0,000	silp dla
325	5,1642	100,0207	31,48	-0,010	0,000	silp dla s
326	13,3751	99,9954	32,06	0,002	0,000	obr s dla
327	3,7283	100,0834	47,40	-0,062	0,000	silp
328	8,8950	100,0029	48,96	-0,002	0,000	obr

329	5,5433	100,0478	58,60	-0,044	0,000	str
330	4,9605	100,0149	65,99	-0,015	0,000	str
331	7,2290	99,9469	60,94	0,051	0,000	obr dla s
332	2,9558	100,0436	60,69	-0,042	0,000	silp dla
333	2,8421	100,0381	63,99	-0,038	0,000	silp dla
334	6,8913	99,8986	64,27	0,102	0,000	obr s dla
335	3,2999	100,0282	63,07	-0,028	0,000	pokk
7009	74,9692	84,2979	7,26	1,829	0,000	
7010	10,0980	94,5830	20,29	1,731	0,000	
7011	388,8791	96,2558	19,76	1,163	0,000	
4009	135,6229	99,6558	21,59	0,127	0,000	
4009					0,000	
4001	0,0000	100,4033	21,59	-0,127	0,000	
336	350,5005	101,4000	38,21	-0,840	0,000	obr2 s
337	350,5852	101,4429	38,90	-0,882	0,000	obr2
338	350,1542	99,9127	38,05	0,052	0,000	chd1 s
339	350,4694	99,9007	38,93	0,061	0,000	chd1
340	347,9917	99,7997	37,30	0,117	0,000	vst s pdr s
341	342,3497	99,8078	38,34	0,116	0,000	pdr zed s
342	345,8037	99,3427	35,26	0,364	0,000	str
343	348,6900	99,9327	38,68	0,041	0,000	pdr vst s
344	349,2653	100,0028	39,17	-0,002	0,000	bud s
345	348,9413	100,0033	39,17	-0,002	0,000	pdr
346	370,1886	99,7995	47,67	0,150	0,000	bud s
347	370,2057	99,9416	46,68	0,043	0,000	bud
348	370,8046	99,9631	45,43	0,026	0,000	dla2 s
349	384,5607	99,8125	69,83	0,206	0,000	zed s pdr s
350	384,8909	99,8111	69,84	0,207	0,000	str
351	305,9810	101,4072	9,34	-0,207	0,000	obr4
352	303,5536	105,2525	9,50	-0,785	0,000	obr3
353	303,9476	105,2209	10,30	-0,847	0,000	bud3
354	288,7436	102,8706	14,38	-0,649	0,000	obr3
355	287,5520	100,9257	14,24	-0,207	0,000	obr4 zed s
356	252,9843	100,9199	13,44	-0,194	0,000	zed
357	253,8870	102,0695	7,44	-0,242	0,000	silp1 s
358	282,8036	102,4996	5,74	-0,225	0,000	silp1
359	241,7086	101,3717	8,25	-0,178	0,000	zabr s
360	75,0833	100,4459	17,79	-0,125	0,000	zabr
361	50,3190	100,5342	15,11	-0,127	0,000	obr2 s dla2 s
362	48,6932	100,5328	15,19	-0,127	0,000	obr2
363	51,1396	100,5004	17,75	-0,140	0,000	obr2 s
364	52,4218	100,5019	17,68	-0,139	0,000	obr2 dla2
365	53,2790	100,4359	18,91	-0,129	0,000	obr2 dla2 s
366	52,0108	100,4680	18,97	-0,139	0,000	obr2
367	52,7851	100,7587	20,17	-0,240	0,000	tribuna s
368	53,9983	100,7785	20,11	-0,246	0,000	dla2
369	67,0657	100,5954	19,80	-0,185	0,000	tribuna
370	67,2553	100,5426	20,18	-0,172	0,000	tribuna
371	66,7830	100,4653	20,25	-0,148	0,000	tribuna s
372	65,9902	100,2664	39,04	-0,163	0,000	tribuna beton s
373	67,4982	100,2879	39,06	-0,177	0,000	beton
374	69,5193	100,3166	39,07	-0,194	0,000	zabr
375	66,8859	100,2090	54,38	-0,179	0,000	beton
376	65,6261	100,0130	54,32	-0,011	0,000	beton tribuna
377	65,6186	100,1469	55,90	-0,129	0,000	beton tribuna
378	66,7978	100,2084	55,91	-0,183	0,000	beton
379	65,4586	100,0650	71,55	-0,073	0,000	tribuna
380	66,3980	100,1791	71,56	-0,201	0,000	tribuna beton
381	67,5726	100,1308	72,12	-0,148	0,000	zabr
382	66,4151	100,1340	71,88	-0,151	0,000	dla2 s
383	66,4029	100,1273	71,98	-0,144	0,000	tribuna
384	61,5472	100,0813	72,06	-0,092	0,000	tribuna
385	61,6800	100,0761	75,28	-0,090	0,000	tribuna s
386	66,3268	100,1289	75,15	-0,152	0,000	tribuna
387	66,3072	100,1553	75,53	-0,184	0,000	tribuna
388	66,1177	100,1083	75,54	-0,128	0,000	beton s
389	65,3727	100,0697	75,56	-0,083	0,000	tribuna
390	69,9933	100,1556	72,05	-0,176	0,000	dla2
391	69,8070	100,1485	75,39	-0,176	0,000	dla2
392	66,3168	100,1537	75,25	-0,182	0,000	dla2

393	66,9165	100,1547	73,64	-0,179	0,000	vps
394	67,5121	100,1324	75,03	-0,156	0,000	zabr s
395	65,9314	100,1250	90,76	-0,178	0,000	beton
396	66,0565	100,1220	90,79	-0,174	0,000	beton
397	66,0252	100,1014	92,41	-0,147	0,000	beton
398	65,9188	100,0946	92,44	-0,137	0,000	beton
399	65,3662	100,0816	90,87	-0,117	0,000	tribuna
400	65,3707	100,0720	92,29	-0,104	0,000	tribuna
401	65,8273	100,1031	102,43	-0,166	0,000	beton
402	66,7299	100,1117	102,44	-0,180	0,000	beton
403	66,7756	99,9809	102,90	0,031	0,000	zabr dla2 s
404	65,2253	99,9787	102,93	0,034	0,000	dla2 tribuna
405	66,7776	99,9951	104,91	0,008	0,000	dla3 s
406	65,8066	99,9903	104,58	0,016	0,000	zabr s
407	62,5324	99,3194	103,02	1,101	0,000	tribuna bud2 s
4003				0,000		
4001	0,0000	102,2158	40,98	-1,427	0,000	
408	48,3517	102,2007	36,58	-1,265	0,000	silp1 s
409	55,0466	102,1796	39,25	-1,344	0,000	silp1
410	53,8868	101,1147	56,05	-0,981	0,000	dla4 s
411	51,9075	101,2032	56,67	-1,071	0,000	dla4
412	58,6815	101,1837	61,48	-1,143	0,000	dla4
413	58,9518	101,1979	61,26	-1,153	0,000	bud3 s dla4
414	58,7786	101,1618	62,13	-1,134	0,000	bud3 s
415	75,8632	99,8701	46,13	0,094	0,000	pdr hhrp s
416	77,2818	99,9329	45,27	0,048	0,000	bet s
417	77,1686	99,9748	44,80	0,018	0,000	hhrl s
418	77,9574	100,7428	44,10	-0,515	0,000	beton
419	80,0148	100,6195	44,58	-0,434	0,000	beton
420	79,3428	99,8300	45,73	0,122	0,000	beton u
421	79,7649	99,7682	46,87	0,171	0,000	pdr
422	88,0683	99,8135	47,16	0,138	0,000	pdr
423	92,9493	100,3458	46,81	-0,254	0,000	pdr zed s
424	70,7610	100,0372	42,09	-0,025	0,000	hhrl
425	68,8596	100,0917	43,36	-0,062	0,000	hhrp
426	63,8644	99,9394	40,33	0,038	0,000	hhrp
427	65,8293	99,9528	39,02	0,029	0,000	hhrl
428	58,3578	99,8519	37,32	0,087	0,000	hhrp schody s
429	50,4519	99,7682	34,05	0,124	0,000	hhrp schody s
430	50,8181	99,8839	32,04	0,058	0,000	hhrl
431	40,8380	99,8684	29,36	0,061	0,000	hhrl
432	39,1586	99,9305	30,96	0,034	0,000	hhrp
433	29,4083	99,8386	28,14	0,071	0,000	hhrp
434	30,9143	100,0029	26,74	-0,001	0,000	hhrl
435	25,1834	100,4255	24,71	-0,165	0,000	hhrl
436	24,7037	100,2667	24,85	-0,104	0,000	beton s
437	21,9480	100,2708	23,78	-0,101	0,000	beton
438	22,4820	100,5983	23,52	-0,221	0,000	hhrl s
439	24,3986	101,2561	22,88	-0,451	0,000	beton
440	27,1170	101,2709	23,92	-0,478	0,000	beton u
441	23,8173	99,9050	26,66	0,040	0,000	hhrp schody s
442	17,6332	99,8386	23,93	0,061	0,000	hhrp schody s
443	12,2151	99,9674	21,11	0,011	0,000	hhrp
444	16,4021	99,9536	19,54	0,014	0,000	hhrl
445	14,0808	100,0051	16,30	-0,001	0,000	hhrl
446	7,6680	100,1234	16,42	-0,032	0,000	hhrp
447	1,6958	100,0344	9,19	-0,005	0,000	hhrp schody s
448	14,1589	99,9565	8,63	0,006	0,000	hhrl
449	384,4137	98,2216	3,95	0,110	0,000	schody hhrp s
450	359,3613	114,5242	5,99	-1,390	0,000	sill1 s
451	386,1692	99,5190	4,18	0,032	0,000	schody s
452	247,1120	99,6176	3,82	0,023	0,000	hhrp
453	213,6867	100,4140	4,99	-0,032	0,000	hhrl
454	225,5984	99,5287	9,76	0,072	0,000	hhrp schody s
455	221,1784	100,0174	15,18	-0,004	0,000	schody hhrp s
456	253,8239	107,8232	9,48	-1,170	0,000	str
457	240,9122	107,3989	11,02	-1,286	0,000	sill
458	232,8795	105,7057	15,40	-1,384	0,000	sill
459	237,5807	105,1944	17,27	-1,412	0,000	sill
460	234,2252	104,5083	20,33	-1,442	0,000	sill dla4 s

461	232,3047	104,1664	22,38	-1,467	0,000	dla4 sill s
462	234,0065	104,4526	19,97	-1,399	0,000	beton s
463	220,3811	99,9714	19,05	0,009	0,000	beton
464	219,4785	100,0887	21,81	-0,030	0,000	beton hhrp s
465	231,7176	103,9011	22,61	-1,387	0,000	beton
466	225,4102	102,6073	35,14	-1,440	0,000	sill
467	232,7695	102,3419	38,42	-1,414	0,000	silp dla s
468	223,8627	102,5051	36,48	-1,436	0,000	str
469	213,7614	99,9688	18,92	0,009	0,000	hhrl beton s
470	213,7067	100,2321	21,72	-0,079	0,000	hhrl s beton1
471	217,3894	100,1815	35,24	-0,100	0,000	hhrp
472	211,0347	100,3450	26,54	-0,144	0,000	hhrl
473	206,9938	100,7686	29,83	-0,360	0,000	hhrl
474	207,7020	100,2607	30,42	-0,125	0,000	beton s
475	205,1856	100,2795	31,52	-0,138	0,000	beton hhrl s
476	205,2103	100,2801	31,50	-0,139	0,000	beton hhrl s
477	205,7861	101,3258	29,24	-0,609	0,000	beton
478	199,1258	100,0911	33,53	-0,048	0,000	hhrl
479	191,2593	100,1540	35,80	-0,087	0,000	hhrl
480	182,7286	100,0720	40,20	-0,045	0,000	hhrp
481	174,8247	100,1035	41,00	-0,067	0,000	hhrl
482	166,4609	100,0537	45,50	-0,038	0,000	hhrp
483	161,9500	100,2755	47,23	-0,204	0,000	hhrl
484	157,7594	100,2676	48,83	-0,205	0,000	hhrl
485	157,7669	100,0552	49,23	-0,043	0,000	beton s
486	157,4827	100,7473	47,96	-0,563	0,000	beton
487	155,6019	100,7453	48,33	-0,566	0,000	beton
488	155,7594	100,3181	49,09	-0,245	0,000	hhrl s
489	150,1257	100,0961	48,93	-0,074	0,000	hhrl
490	144,0939	100,2849	47,51	-0,213	0,000	hhrl
491	142,8898	100,2057	49,18	-0,159	0,000	zed1 s
492	152,6403	99,9745	55,74	0,022	0,000	blbrd
493	153,5404	100,0030	57,42	-0,003	0,000	beton s
494	151,8769	100,0394	57,03	-0,035	0,000	beton
495	150,5269	100,0412	54,84	-0,036	0,000	beton
496	151,3997	100,0244	53,67	-0,021	0,000	beton
497	153,4156	100,0761	53,96	-0,065	0,000	beton u
498	142,5236	100,0281	48,99	-0,022	0,000	zed2 s
499	143,0277	99,9835	47,36	0,012	0,000	tribuna s
500	133,3616	100,2320	44,56	-0,162	0,000	tribuna
501	105,6806	99,9813	42,83	0,013	0,000	zed s schdody s
502	105,7118	100,0534	43,04	-0,036	0,000	zed
503	108,2163	99,9777	42,89	0,015	0,000	zed schod1 s
504	108,4722	99,9240	44,33	0,053	0,000	schod1 zed s
505	93,3735	99,7505	46,55	0,182	0,000	zed
506	92,6971	99,6197	44,92	0,268	0,000	zed
507	92,7015	99,6164	44,93	0,271	0,000	zed
508	102,8508	100,0039	43,25	-0,003	0,000	schod1 s
509	99,0262	109,3408	32,06	-4,739	0,000	schod1
510	102,9636	109,4975	31,65	-4,757	0,000	schod1 schod1
511	135,7141	108,8628	33,47	-4,691	0,000	schod1 s schod1
512	139,3828	108,5754	34,25	-4,642	0,000	schod1
513	133,3849	100,2210	44,54	-0,155	0,000	schod1
514	130,3599	100,3948	43,89	-0,272	0,000	schod1 schod1
515	130,3002	100,3764	44,12	-0,261	0,000	zed
516	128,8881	100,2623	43,91	-0,181	0,000	schod1 s
517	128,4478	100,2001	45,33	-0,143	0,000	schod1 zed s
518	181,7581	113,1713	21,97	-4,612	0,000	beton s
519	181,2684	113,4305	21,73	-4,653	0,000	beton
520	177,9640	112,9944	22,39	-4,634	0,000	beton
521	181,3149	111,9265	24,56	-4,655	0,000	beton
522	184,4547	112,1663	23,89	-4,622	0,000	beton
523	184,7639	112,0753	24,16	-4,638	0,000	beton
524	181,9755	111,8739	24,77	-4,675	0,000	hriste s
525	180,8214	111,8636	24,66	-4,650	0,000	hriste1 s
526	180,2733	113,8586	21,88	-4,839	0,000	hriste2 s
527	52,9765	116,1885	19,12	-4,970	0,000	hriste2
528	53,5630	115,8118	19,59	-4,968	0,000	hriste2
529	57,8699	115,1397	19,15	-4,642	0,000	hriste1
530	56,5630	115,5149	19,20	-4,774	0,000	hriste

531	84,5257	108,7722	33,73	-4,678	0,000	hriste
532	84,7931	108,7767	33,35	-4,628	0,000	hriste1
533	84,9915	108,7399	33,61	-4,643	0,000	hriste2
534	83,4226	109,1033	34,49	-4,966	0,000	hriste2
535	84,4727	108,9493	34,81	-4,926	0,000	hriste2
536	153,3927	107,9240	37,30	-4,667	0,000	hriste1
537	153,0641	107,9533	37,12	-4,661	0,000	zed s
538	153,4178	108,1070	36,80	-4,712	0,000	hriste
539	153,3820	107,9718	38,61	-4,860	0,000	hriste2
540	154,2020	107,9523	38,51	-4,836	0,000	hriste2
541	184,9546	111,9287	25,45	-4,826	0,000	hriste2
542	185,2579	112,1702	24,96	-4,830	0,000	hriste2
4002					0,000	
4001	0,0000	100,1416	115,59	-0,223	0,000	
543	396,7161	100,2868	48,59	-0,219	0,000	pokc
544	388,2090	100,3538	38,30	-0,213	0,000	obr s
545	387,8059	100,3590	38,81	-0,219	0,000	schody s
546	393,8667	100,3892	38,24	-0,234	0,000	schody
547	394,4795	100,4162	41,68	-0,273	0,000	schody
548	2,8779	100,3660	38,40	-0,221	0,000	sill cesl s
549	395,0405	100,4194	37,69	-0,248	0,000	silp cesp s
550	381,5362	100,1214	25,08	-0,048	0,000	obr
551	382,0341	100,1077	25,83	-0,044	0,000	pokk
552	394,7430	100,1934	24,09	-0,073	0,000	obr
553	394,0879	100,1530	22,03	-0,053	0,000	obr sit s
554	385,4730	100,1780	22,82	-0,064	0,000	zabr s
555	380,4835	100,1715	25,18	-0,068	0,000	bud s
556	363,9398	100,0740	28,53	-0,033	0,000	tribuna
557	393,6520	100,5223	25,21	-0,207	0,000	cesp
558	4,0493	100,6194	24,96	-0,243	0,000	cesp
559	3,8187	100,5373	30,32	-0,256	0,000	cesp
560	6,0765	100,4803	32,48	-0,245	0,000	cesp
561	4,9044	100,4639	36,67	-0,267	0,000	cesl
562	7,4634	100,5222	36,08	-0,296	0,000	cesl
563	10,0568	100,4751	31,44	-0,235	0,000	pdr s
564	45,4626	101,4226	8,57	-0,192	0,000	pdr
565	205,2921	100,1208	33,06	-0,063	0,000	sit
566	236,8773	100,0087	42,62	-0,006	0,000	zed s
567	240,1619	100,0942	40,71	-0,060	0,000	dla s
568	205,3252	100,1138	33,29	-0,060	0,000	dla
569	204,9237	99,9884	36,52	0,007	0,000	dla zed
570	200,0583	100,2339	36,48	-0,134	0,000	zed
571	202,7610	100,1212	35,46	-0,067	0,000	beton s
572	178,7052	100,0025	37,95	-0,001	0,000	beton
573	181,9205	99,9620	38,48	0,023	0,000	str
574	173,5445	100,1557	31,53	-0,077	0,000	beton
575	190,0206	100,2364	28,78	-0,107	0,000	beton
576	186,3184	100,4945	22,88	-0,178	0,000	beton
577	203,3103	100,4091	21,78	-0,140	0,000	beton u
578	81,3896	100,4845	15,58	-0,119	0,000	dhrl
579	104,1607	100,4512	13,10	-0,093	0,000	dhrl
580	132,0898	101,2111	14,57	-0,277	0,000	dhrl
581	139,9745	101,1233	18,01	-0,318	0,000	dhrl
582	138,8125	100,8630	23,61	-0,320	0,000	dhrl
583	133,9598	100,7262	26,75	-0,305	0,000	dhrl
584	128,5665	100,4795	26,80	-0,202	0,000	dhrl
585	124,3753	100,4161	29,97	-0,196	0,000	dhrl
4010	143,3830	100,6491	33,37	-0,334	0,000	
586	168,7240	100,4774	41,53	-0,311	0,000	str
4011	41,4193	100,4839	29,76	-0,224	0,000	
7012	394,4640	95,2418	22,04	1,650	0,000	
7013	393,9475	94,4271	38,27	3,358	0,000	
4010					0,000	
4002	0,0000	99,3763	33,37	0,334	0,000	
587	82,5379	99,5982	14,06	0,089	0,000	dhrl
588	81,7461	99,1095	17,31	0,242	0,000	dhrl
589	95,6164	99,3674	19,56	0,194	0,000	dhrl
590	84,3951	99,7922	25,66	0,084	0,000	dhrl
591	75,1060	99,3712	25,40	0,251	0,000	dhrl u
592	58,2292	87,4395	20,62	4,122	0,000	hhrp s

593	60,2180	87,9933	14,50	2,767	0,000	hhrp
594	84,3109	99,9634	28,62	0,016	0,000	pdr
595	109,4942	100,1479	46,84	-0,109	0,000	pdr s zed s
596	101,2986	100,2541	42,04	-0,168	0,000	dhrp s
597	100,7859	98,4576	46,44	1,125	0,000	hhrp s
598	81,5408	100,0155	35,38	-0,009	0,000	pdr
599	102,6595	99,8948	20,24	0,033	0,000	str
600	111,8050	99,7059	16,89	0,078	0,000	str
601	175,0586	99,7000	12,94	0,061	0,000	str
602	249,3762	75,3359	16,31	6,656	0,000	str
603	262,6554	81,6468	16,13	4,783	0,000	str
604	255,4575	88,1902	15,96	2,995	0,000	str
605	114,1357	93,0827	23,06	2,516	0,000	bud
4011					0,000	
4002	0,0000	99,5241	29,76	0,224	0,000	
606	108,1545	100,2520	18,45	-0,073	0,000	vst s
607	235,9483	99,7812	36,19	0,124	0,000	dhr
608	240,0284	98,1271	41,12	1,210	0,000	hhr
609	240,8619	100,0099	45,53	-0,007	0,000	zed
610	230,8601	97,7524	38,12	1,347	0,000	dhr
611	213,0365	100,3184	19,11	-0,096	0,000	dhr
612	115,5902	100,4858	16,56	-0,126	0,000	dhr
613	192,3160	95,3132	18,85	1,390	0,000	hhr
614	123,2407	95,3749	19,01	1,384	0,000	hhr
4001					0,000	
4002	0,0000	99,8831	115,59	0,223	0,000	
4012	308,0841	99,8277	61,46	0,176	0,000	
4012					0,000	
4001	0,0000	100,1915	61,46	-0,176	0,000	
615	21,3788	99,6025	33,22	0,207	0,000	bud s
616	47,9833	99,6719	9,52	0,049	0,000	bud s
617	65,9447	100,1811	15,05	-0,043	0,000	bud
618	76,3156	99,7566	16,97	0,065	0,000	bud s
619	110,7445	99,5072	17,08	0,132	0,000	bud
620	111,5526	99,5943	19,28	0,123	0,000	zed1 s
621	74,7995	89,5987	18,76	3,093	0,000	bud
622	66,6675	88,8467	19,60	3,470	0,000	bud
623	82,6828	100,0177	16,34	-0,005	0,000	beton s
624	83,1046	100,2381	15,01	-0,056	0,000	beton
625	94,2325	100,2349	14,84	-0,055	0,000	beton
626	98,0469	100,1723	15,80	-0,043	0,000	beton
627	284,6688	100,9366	4,90	-0,072	0,000	beton
628	247,0024	100,1864	6,88	-0,020	0,000	zed1
629	282,7818	100,2077	24,33	-0,079	0,000	zed1
630	283,2498	100,2113	24,37	-0,081	0,000	zed1
631	292,0956	100,2910	21,48	-0,098	0,000	beton
632	281,5451	100,3567	22,02	-0,123	0,000	beton
633	292,8085	100,1147	24,27	-0,044	0,000	zed1
634	293,3800	100,5758	32,74	-0,296	0,000	zed1
635	293,3925	100,5676	33,09	-0,295	0,000	zed1
636	293,3756	100,5332	33,96	-0,284	0,000	zed1 s
637	293,4666	100,7947	34,33	-0,429	0,000	zed1
638	289,1111	100,6357	34,48	-0,344	0,000	zed1
639	289,6382	100,8061	37,11	-0,470	0,000	zed1
640	293,5530	100,5197	37,03	-0,302	0,000	zed1
641	293,6116	100,5715	38,61	-0,347	0,000	zed1
642	293,7045	100,6217	41,97	-0,410	0,000	zed1
643	293,9172	100,6357	41,96	-0,419	0,000	zed1
644	293,7199	100,6182	42,00	-0,408	0,000	zed1
645	290,2097	100,1139	41,98	-0,075	0,000	zed1
646	290,8184	100,3874	46,82	-0,285	0,000	zed1
647	289,0351	99,7844	47,81	0,162	0,000	zed1
648	297,9133	100,2078	55,28	-0,180	0,000	blbrd
649	295,2605	100,5544	41,69	-0,363	0,000	blbrd
650	294,0057	100,0512	32,14	-0,026	0,000	blbrd
651	312,0968	100,2499	17,09	-0,067	0,000	str
652	397,2888	99,8916	12,38	0,021	0,000	zed s
653	379,2926	99,4365	12,77	0,113	0,000	zed silp s
654	378,3065	100,0643	11,71	-0,012	0,000	silp

655	368,7758	100,2523	12,36	-0,049	0,000	silp
656	354,3021	100,1880	11,47	-0,034	0,000	silp
657	347,1628	100,1857	9,57	-0,028	0,000	silp
658	329,1318	100,2278	10,37	-0,037	0,000	silp
659	316,2947	100,4437	12,60	-0,088	0,000	silp
660	311,8283	100,4130	14,68	-0,095	0,000	silp
661	307,0380	100,5046	20,26	-0,161	0,000	silp
662	307,5810	100,3468	33,07	-0,180	0,000	schody s
4006					0,000	
4005	0,0000	100,3031	63,80	-0,304	0,000	
663	174,9357	98,5699	8,70	0,195	0,000	sop
664	165,9297	98,9348	11,31	0,189	0,000	sop
665	169,2542	98,9096	12,26	0,210	0,000	sop
666	172,7342	98,6119	14,75	0,322	0,000	pokk
667	141,0631	99,1912	16,93	0,215	0,000	sop
668	143,4066	99,2300	17,30	0,209	0,000	sop
669	170,9196	99,0175	17,58	0,271	0,000	pokc
670	243,1118	99,4015	11,45	0,108	0,000	sop
671	326,8543	72,7658	9,10	4,149	0,000	bud
4013	286,9142	99,4558	30,52	0,270	0,000	
4013					0,000	
4006	0,0000	100,5841	30,52	-0,270	0,000	
672	203,8977	100,0662	32,63	-0,034	0,000	pokk
673	213,3820	100,1408	72,23	-0,160	0,000	sop
674	212,2873	100,1260	72,36	-0,143	0,000	sop
675	211,7171	100,0587	102,61	-0,095	0,000	pokk
676	212,9124	100,1124	160,88	-0,284	0,000	pokk
677	213,1707	100,1223	171,83	-0,330	0,000	pokk
678	209,5007	100,1755	178,42	-0,492	0,000	silp s
679	209,5693	100,1622	177,64	-0,453	0,000	vps
680	208,6343	100,1693	155,18	-0,413	0,000	silp
681	207,8893	100,1667	137,28	-0,360	0,000	vps
682	206,9367	100,1693	123,71	-0,329	0,000	silp
683	205,4326	100,1725	105,06	-0,285	0,000	silp
684	204,8479	100,1616	97,54	-0,248	0,000	vps
685	202,3363	100,2017	80,19	-0,254	0,000	silp
686	198,3326	100,2613	61,56	-0,253	0,000	silp
687	196,2918	100,2577	54,19	-0,219	0,000	vps
688	184,9141	100,3492	35,30	-0,194	0,000	silp
689	166,1589	100,4274	23,20	-0,156	0,000	silp
690	160,0927	100,4374	20,89	-0,144	0,000	vps
691	87,1906	100,5203	17,90	-0,146	0,000	silp
692	46,2550	100,3228	34,66	-0,176	0,000	silp
693	46,2550	100,3216	34,66	-0,175	0,000	silp
694	41,4050	100,2638	39,74	-0,165	0,000	vps
695	34,7374	100,2124	53,29	-0,178	0,000	silp
696	33,9829	100,0515	42,77	-0,035	0,000	pokc

Příloha 2: Zápisník měření – fasáda stavebního objektu

Číslo bodu	Hz	Z	Vod. délka	Převýšení:	Signál:	Popis
5001					0,000	
7010	298,5709	106,8386	11,69	-1,261	0,000	
F01	348,0449	107,6982	24,17	-2,937	0,000	dla s
F02	348,0176	107,1247	24,21	-2,721	0,000	dla s
F03	347,9880	107,0983	24,15	-2,703	0,000	bud s
F04	348,0016	91,3237	24,21	3,320	0,000	bud
F05	348,7255	91,2345	23,98	3,323	0,000	drevo
F06	347,7722	107,8251	23,94	-2,958	0,000	okap
F07	347,7396	101,4098	23,95	-0,530	0,000	okap
F08	348,8650	91,7174	23,67	3,097	0,000	okap
F09	348,9390	91,0602	23,62	3,338	0,000	okap
F10	347,6126	107,2955	24,02	-2,764	0,000	okap
F11	347,8649	107,2955	23,99	-2,761	0,000	okap
F12	349,7117	91,2340	24,02	3,329	0,000	okap s
F13	349,6963	90,9952	23,98	3,414	0,000	okap s
F14	349,5250	90,8947	24,07	3,466	0,000	strecha s
F15	340,3925	88,8914	26,50	4,672	0,000	hreben
F16	341,8004	89,1277	26,83	4,627	0,000	strecha
F17	316,3337	85,8850	20,73	4,672	0,000	hreben
F18	258,7524	86,7875	22,16	4,667	0,000	hreben
F19	315,5923	86,7353	15,91	3,364	0,000	okap
F20	315,5923	86,4695	15,92	3,435	0,000	okap
F21	280,2240	85,8238	15,04	3,405	0,000	okap
F22	280,2129	86,2557	15,04	3,298	0,000	okap
F23	280,2129	86,6144	15,05	3,212	0,000	okap
F24	280,2316	87,5070	15,07	2,995	0,000	okap
F25	281,0609	88,6248	15,53	2,805	0,000	okap
F26	281,1325	99,9125	15,55	0,021	0,000	okap
F27	281,1325	111,9088	15,53	-2,939	0,000	okap
F28	257,1400	87,5110	17,29	3,436	0,000	okap u
F29	257,1400	87,8259	17,33	3,356	0,000	okap u
F30	307,1901	86,8956	15,89	3,318	0,000	bud
F31	257,4110	88,4361	18,03	3,312	0,000	bud
F32	254,8708	109,3612	18,47	-2,736	0,000	bud
F33	346,3452	107,3230	23,50	-2,715	0,000	dla
F34	346,3452	108,3039	23,49	-3,081	0,000	dla
F35	345,4356	107,2266	23,80	-2,713	0,000	dla
F36	345,4213	108,1867	23,85	-3,084	0,000	dla
F37	341,8115	108,0526	21,78	-2,770	0,000	dla s
F38	341,8217	108,7568	21,58	-2,987	0,000	dla s
F39	253,5448	109,2531	18,73	-2,741	0,000	dla
F40	253,1431	109,9782	18,78	-2,968	0,000	dla
F41	346,3424	108,3038	23,49	-3,081	0,000	dvere s
F42	346,3446	101,6559	23,49	-0,611	0,000	dvere
F43	341,7647	101,7736	21,75	-0,606	0,000	dvere
F44	341,8157	108,7513	21,59	-2,987	0,000	dvere u
F45	287,3645	105,3260	15,56	-1,305	0,000	okno s
F46	287,3645	102,9460	15,52	-0,719	0,000	okno
F47	283,6771	102,9211	15,58	-0,716	0,000	okno
F48	283,6719	105,3016	15,59	-1,301	0,000	okno u
F49	284,1028	104,8842	15,76	-1,212	0,000	okno s
F50	284,0819	103,1830	15,76	-0,789	0,000	okno
F51	287,0920	103,1932	15,73	-0,790	0,000	okno
F52	287,0809	104,8977	15,72	-1,212	0,000	okno u
F53	286,9238	104,6911	15,75	-1,163	0,000	okno s
F54	286,9602	103,3512	15,83	-0,834	0,000	okno
F55	284,3062	103,3430	15,88	-0,835	0,000	okno
F56	284,2812	104,6824	15,80	-1,164	0,000	okno u
F57	339,2535	103,9373	20,96	-1,298	0,000	okno
F58	337,1730	102,2366	20,35	-0,715	0,000	okno
F59	335,6902	104,1332	19,96	-1,298	0,000	okno
F60	333,3820	102,3501	19,39	-0,716	0,000	okno
F61	330,6325	104,3950	18,80	-1,300	0,000	okno
F62	328,0426	102,4853	18,30	-0,715	0,000	okno
F63	326,1738	104,5704	17,98	-1,293	0,000	okno
F64	323,3498	102,6062	17,53	-0,718	0,000	okno

F65	320,1925	104,8184	17,10	-1,297	0,000	okno
F66	317,0751	102,7273	16,73	-0,717	0,000	okno
F67	314,7188	104,9774	16,50	-1,292	0,000	okno
F68	307,8747	105,1826	15,95	-1,301	0,000	okno
F69	298,5928	102,9283	15,53	-0,715	0,000	okno
F70	292,7664	102,9331	15,45	-0,712	0,000	okno
F71	272,2945	105,0775	16,29	-1,302	0,000	okno
F72	268,9588	102,7543	16,52	-0,715	0,000	okno
F73	263,9271	104,8625	17,10	-1,309	0,000	okno
F74	261,0190	102,6773	17,46	-0,735	0,000	okno
F75	278,5504	93,9379	15,95	1,523	0,000	okno1 s
F76	278,5535	89,2279	15,81	2,702	0,000	okno1
F77	269,4379	89,6636	16,48	2,699	0,000	okno1
F78	269,4487	94,1536	16,48	1,518	0,000	okno1 u
F79	270,0068	93,8882	16,63	1,601	0,000	okno1 s
F80	270,0068	90,0419	16,63	2,622	0,000	okno1
F81	278,4163	89,6712	16,02	2,623	0,000	okno1
F82	278,4080	93,6635	16,03	1,600	0,000	okno1 u
F83	278,2690	93,4949	16,05	1,645	0,000	okno1 s
F84	278,2757	89,8532	16,05	2,580	0,000	okno1
F85	275,9283	89,9373	16,18	2,579	0,000	okno1
F86	275,9398	93,5560	16,18	1,644	0,000	okno1 u
F87	275,3955	93,5739	16,22	1,643	0,000	okno1 s
F88	275,3996	89,9734	16,23	2,578	0,000	okno1
F89	273,1214	90,0550	16,38	2,580	0,000	okno1
F90	273,1217	93,6361	16,38	1,643	0,000	okno1 u
F91	272,3936	93,6554	16,45	1,645	0,000	okno1 s
F92	272,4002	90,0894	16,45	2,581	0,000	okno1
F93	270,1950	90,2126	16,63	2,578	0,000	okno1
F94	270,1912	93,7311	16,63	1,643	0,000	okno1 u
F95	335,7522	95,1568	19,99	1,523	0,000	okno2 s
F96	335,7522	91,4567	19,98	2,697	0,000	okno2
F97	333,2192	91,1750	19,36	2,701	0,000	okno2
F98	333,2073	95,0723	19,36	1,501	0,000	okno2 u
F99	335,1205	94,9568	20,10	1,596	0,000	okno2
F100	335,1303	91,7456	20,11	2,622	0,000	okno2
F101	334,9487	94,7952	20,11	1,648	0,000	okno2
F102	320,2624	94,3560	17,12	1,522	0,000	okno2
F103	316,8450	89,8038	16,70	2,698	0,000	okno2
F104	278,6075	111,7653	15,83	-2,958	0,000	dvere s
F105	278,6228	103,5839	15,82	-0,891	0,000	dvere
F106	274,7507	103,5461	16,04	-0,894	0,000	dvere
F107	274,7507	111,6406	16,01	-2,961	0,000	dvere u
F108	277,1604	108,2018	16,08	-2,083	0,000	dvere s
F109	277,1541	104,2210	16,07	-1,067	0,000	dvere
F110	276,5487	104,2217	16,10	-1,069	0,000	dvere
F111	276,5619	108,1898	16,10	-2,083	0,000	dvere u
F112	304,3726	88,9501	15,75	2,761	0,000	dvere
F113	258,2582	103,2236	17,89	-0,907	0,000	dvere
F114	255,2790	110,2001	18,38	-2,971	0,000	dvere
F115	343,7832	94,5868	22,48	1,916	0,000	okno3 s
F116	342,5777	94,5396	22,03	1,894	0,000	okno3
F117	342,5777	92,2462	22,03	2,696	0,000	okno3
F118	343,1974	94,3841	22,55	1,995	0,000	okno3
F119	343,0721	94,2579	22,54	2,039	0,000	okno3
F120	306,4142	113,9492	13,13	-2,924	0,000	schody
F121	301,6581	114,2696	12,94	-2,949	0,000	schody
F122	300,7604	112,9428	14,25	-2,937	0,000	schody
F123	305,0930	112,9626	14,42	-2,977	0,000	schody
F124	258,1971	110,5048	17,89	-2,980	0,000	dvere
F125	350,9802	108,0369	23,71	-3,009	0,000	teren
F126	289,3994	113,3639	13,65	-2,908	0,000	teren
F127	246,8973	110,8381	17,25	-2,966	0,000	teren
F128	347,9842	107,0293	24,16	-2,678	0,000	preklop1
F129	253,7147	109,2052	18,69	-2,722	0,000	preklop2
F130	319,6692	94,1275	17,26	1,597	0,000	okno2
F131	319,5104	93,9596	17,27	1,644	0,000	okno2
F132	316,8513	94,0106	16,72	1,578	0,000	okno2
F133	316,9235	93,8523	16,94	1,641	0,000	okno2
F134	295,7849	106,8768	11,70	-1,269	0,000	schody

F135	314,1080	102,2862	12,38	-0,445	0,000	schody
F136	303,4276	75,7640	13,71	5,488	0,000	schody
F137	312,0054	103,9152	15,21	-0,936	0,000	komin
F138	311,8229	79,2112	15,42	5,224	0,000	komin
F139	312,2309	94,2568	15,23	1,378	0,000	komin
F140	311,4259	94,2876	15,34	1,380	0,000	komin
F141	308,1057	85,2629	19,86	4,681	0,000	komin
F142	308,0135	83,9090	21,21	5,479	0,000	komin

Příloha 3: Protokol měření GNSS – 1. měření

PROTOKOL GNSS (RTK) MERENI

Firma: ARITMET s.r.o.
Gutova 2134/26
100 00 Praha 10

Zakazka: mapovani

Meril:

Datum: 16.09.2015

Pristroj: Trimble R8, fw: 2.32, vyr. c.: 4627118106

Trimble General Survey SW: 2.70

Verze protokolu: 4.93

Body vypsány od (RRRRMMDD): 01012014

Souradnicovy system: Pouzit transformacni modul zpresnene globalni transformace Trimble 2013 verze 1.0 schvaleny CUZK pro mereni od 1.7.2012.

Zona: Krovak_2013

Soubor rovinne dotransformace: KG2013

Vertikalni transformace

Model kvazigeoidu: CR2005

POUZITE A MERENE BODY

Cislo bodu Kod bodu	Y	X	Z	Presnost	PDOP	Sit	Pocet	Antena	Datum	Zacatek	Doba
	XY	Z		sat.	vyska; od#		mereni	mereni[s]			
4001	740892.99	1041270.14	191.40	0.005	0.011	3.30	5	6	2.00	SZ	16.09 10:49
4002	740880.57	1041155.20	191.58	0.006	0.011	2.83	5	8	2.00	SZ	16.09 10:53
4003	740897.19	1041229.37	192.76	0.008	0.016	2.40	5	7	2.00	SZ	16.09 10:59
4004	740953.10	1041259.24	191.54	0.005	0.009	2.24	5	7	2.00	SZ	16.09 11:02
4005	740902.57	1041300.98	190.39	0.007	0.013	2.90	5	7	2.00	SZ	16.09 11:07
4006	740965.86	1041292.99	190.67	0.007	0.013	2.66	5	7	2.00	SZ	16.09 11:10
4007	740953.11	1041218.58	190.89	0.005	0.010	4.63	5	7	2.00	SZ	16.09 11:11
4008	740935.36	1041105.58	190.81	0.020	0.046	4.45	5	5	2.00	SZ	16.09 11:15

Vyska anteny merena od: FC = fazoveho centra; SZ = spodku zavitu; SN = stredu narazniku

Bod meren na: 1 = Trimble VRS NOW CZ; 2 = TOPNET; 3 = CZEPOS RTK

4 = Czepos PRS/FKP; 5 = CZEPOS RTK3/MAX3; 6 = Neznama sit

Hodnoty PDOP oznamene * jsou mimo nastavenou toleranci: 7.00 Hodnoty PDOP oznamene * jsou mimo nastavenou toleranci: 7.00

Hodnoty s RMS oznamene # jsou mimo nastavenou toleranci: 40.00

Body oznamene ! NoFix ! pred cislem bodu, nebyly pri mereni Fixovany!

Příloha 4: Protokol měření GNSS – 2. měření

PROTOKOL GNSS (RTK) MERENI

Firma: ARITMET s.r.o.
Gutova 2134/26
100 00 Praha 10

Zakazka: zamereni

Meril:

Datum: 12.11.2015

Pristroj: Trimble R8, fw: 2.32, vyr. c.: 4627118260

Trimble Survey Controller SW: 12.46

Verze protokolu: 4.93

Body vypsány od (RRRRMMDD): 2011

Souradnicovy system: Pouzit transformacni modul zpresnene globalni transformace Trimble 2013 verze 1.0 schvaleny CUZK pro mereni od 1.7.2012.

Zona: Krovak_2013

Soubor rovinne dotransformace: KG2013

Vertikalni transformace

Model kvazigeoidu: CR2005

POUZITE A MERENE BODY

Cislo bodu Kod bodu	Y	X	Z	Presnost	PDOP	Sit	Pocet	Antena	Datum	Zacatek	Doba
	XY	Z		sat.	vyska; od#				mereni	mereni	[s]
4001	740893.00	1041270.15	191.38	0.006	0.012	1.92	5	7	2.00	SZ	12.11 09:16
4003	740897.20	1041229.41	192.76	0.006	0.009	1.95	5	8	2.00	SZ	12.11 09:21
4002	740880.56	1041155.20	191.56	0.007	0.010	1.07	5	8	2.00	SZ	12.11 09:32
4005	740902.54	1041300.95	190.42	0.017	0.024	3.65	5	5	2.40	SZ	12.11 09:56
4006	740965.83	1041292.98	190.70	0.011	0.016	2.57	5	6	2.40	SZ	12.11 09:58
4007	740953.13	1041218.58	190.90	0.007	0.010	3.07	5	5	2.00	SZ	12.11 10:06
4008	740935.37	1041105.57	190.70	0.011	0.013	2.50	5	6	2.40	SZ	12.11 10:09

Vyska anteny merena od: FC = fazoveho centra; SZ = spodku zavitu; SN = stredu narazniku

Bod meren na: 1 = Trimble VRS NOW CZ; 2 = TOPNET; 3 = CZEPOS RTK

4 = Czepos PRS/FKP; 5 = CZEPOS RTK3/MAX3; 6 = Neznama sit

Hodnoty PDOP oznamene * jsou mimo nastavenou toleranci: 7.00 Hodnoty PDOP oznamene * jsou mimo nastavenou toleranci: 7.00

Hodnoty s RMS oznamene # jsou mimo nastavenou toleranci: 40.00

Body oznamene ! NoFix ! pred cislem bodu, nebyly pri mereni Fixovany!

Příloha 6: Skript pro výpočet přesnosti souřadnic bodu v rovině

```
% vypocet presnosti souradnic
P = [5000
      1000]; % stanovisko
xp = P(1,1);
yp = P(2,1);
O = [5011.691
      1000.000]; % orientace
xo = O(1,1);
yo = O(2,1);

% body pro vypocet
xx = 5017.232; %xx = 5017.966; %xx = 5016.244;
yy = 1016.950; % bod F01 %yy = 987.025; % bod F18 %yy = 1004.817; %
bod F133
% sm. Odchylky
s_u = 0.003*pi/200;
s_d = 0.005;
% presnot bodu 2D
ds = 24.351;
fi = 49.4740*(pi/200);
zen = 107.6982*(pi/200); % bod F01
%ds = 22.651;
%fi = 360.1815*(pi/200);
%zen = 86.7875*(pi/200); % bod F18
%ds = 17.025;
%fi = 18.3526*(pi/200);
%zen = 93.8523*(pi/200); % bod F133

D = [sin(zen)*cos(fi), (-ds)*sin(zen)*sin(fi), ds*cos(zen)*cos(fi)
      sin(zen)*sin(fi), ds*sin(zen)*cos(fi), ds*cos(zen)*sin(fi)];
el = diag([s_d^2, s_u^2, s_u^2]);
Ex = D*el*D'

sx = sqrt(Ex(1,1))
sy = sqrt(Ex(2,2))
sxy = sqrt((sx^2+sy^2)/2)
%s_2D = sqrt((Ex(1,1)+Ex(2,2))/2)

vcis_m = eig(Ex);
alfa2_m = atan2(2*Ex(1,2), (Ex(1,1)-Ex(2,2)));
alfa_m = (alfa2_m/2);
if alfa_m < 0
    alfa_m = alfa_m + (2*pi)
end
elipsa_m = [(sqrt(vcis_m(2))); (sqrt(vcis_m(1))); alfa_m*(200/pi)]

a = [elipsa_m(2)];
b = [elipsa_m(1)];
om = [alfa_m];

% vykresleni stredni elipsy chyb
id = [1];
[h_el, h_pt, h_fi, h_txt] = ellipse(a*1000, b*1000, om, xx, yy, id)
hold on
plot((yy), (xx), 'g+')
plot((yp), (xp), 'b+')
plot((yo), (xo), 'r+')
xlabel('+y [m]')
ylabel('+x [m]')
title('stredni elipsa chyb bod F01')
text(yp,xp,'stanovisko')
text(yo,xo,'orientace')
xlim([990 1025])
ylim([4995 5025])
```

Příloha 7: Skript pro výpočet přesnosti souřadnic bodu v prostoru

```
% vypocet presnosti souradnic
P = [5000
      1000]; % stanovisko
xp = P(1,1);
yp = P(2,1);
O = [5011.691
      1000.000]; % orientace
xo = O(1,1);
yo = O(2,1);
% body pro vypocet
x = 5017.232;
y = 1016.950; % bod F01
%x = 5017.966;
%y = 987.025; % bod F18
%x = 5016.244;
%y = 1004.817; % bod F133

% sm. odchylka smeru
s_u = 0.003*pi/200;
% sm. odch. delky
s_d = 0.005;

% presnot bodu 3D
ds = 24.351;
fi = 49.4740*(pi/200);
zen = 107.6982*(pi/200); % bod F01
%ds = 22.651;
%fi = 360.1815*(pi/200);
%zen = 86.7875*(pi/200) ; % bod F18
%ds = 17.025;
%fi = 18.3526*(pi/200);
%zen = 93.8523*(pi/200); % bod F133

D = [sin(zen)*cos(fi), (-ds)*sin(zen)*sin(fi), ds*cos(zen)*cos(fi)
      sin(zen)*sin(fi), ds*sin(zen)*cos(fi), ds*cos(zen)*sin(fi)
      cos(zen), 0, (-ds)*sin(zen)];

el = diag([s_d^2, s_u^2, s_u^2]);
Ex = D*el*D'

sx = sqrt(Ex(1,1))
sy = sqrt(Ex(2,2))
sz = sqrt(Ex(3,3))
s3D = sqrt(sx^2+sy^2+sz^2) % stredni chyba prostorova
sxy = sqrt((sx^2+sy^2)/2) % stredni chyba souradnicova
```

Příloha 8: Funkce *ellipse*

```
function [h_el, h_pt, h_fi, h_txt] = ellipse(a, b, om, x, y, cb)
% kresleni elips na bodech v S-JTSK
% vstupni parametry mohou byt vektory nebo matice
% a, b ... poloosy
% om     ... uhel stoceni
% x, y ... souradnice stredu elipsy
% cb    ... cisla bodu (volitelny parametr)
%
% h_el ... handl elips
% h_txt ... handl textu
% h_pt  ... handl bodu
% h_fi  ... handl vyplne

% Autor: Tomas Kubin

if nargin < 5 | nargin > 6
    error('Chybne volani funkce')
end
n = numel(a);
if numel(b) ~= n | numel(om) ~= n | numel(x) ~= n | numel(y) ~= n
    error('Pocet prvků ve vektorech a, b, om, x, y musi byt stejny')
end
if nargin == 6 & numel(cb) ~= n
    error('Pocet prvků ve vektorech a, cb musi byt stejny')
end

phi = linspace(0, 2*pi, 50);
figure;
hold on
daspect([1 1 1])
for i=1:n
    % body elipsy
    xx_ = a(i)*cos(phi);
    yy_ = b(i)*sin(phi);
    % natoceni
    xx = x(i) + cos(om(i))*xx_ - sin(om(i))*yy_;
    yy = y(i) + sin(om(i))*xx_ + cos(om(i))*yy_;
    % popis
    h_fi(i) = fill(yy, xx, 'c', 'FaceAlpha', 0.3); % vypln
    if nargin == 6
        string = sprintf('%i', cb(i));
        h_txt(i) = text(y(i), x(i), string, 'BackgroundColor', [0.7 0.9
0.7],...
                         'HorizontalAlignment', 'left',...
                         'VerticalAlignment', 'top');
    end
    % kresba obvodu, kresba bodu
    h_el(i) = plot(yy, xx, 'color', 'blue'); % zmena souradnic kvuli S-JTSK
    h_pt(i) = plot(y(i), x(i), 'color', 'black', 'marker', '+'); % bod
end

% nastaveni S-JTSK
set(gca, 'XDir', 'reverse')
set(gca, 'YDir', 'reverse')
set(gca, 'XAxisLocation', 'top')
set(gca, 'YAxisLocation', 'right')
hold off
```